

التركيب الإلكتروني للجزئيات

Electronic Structure of Molecules

١- المقدمة :

من الأسئلة التي تبادر إلى ذهن الدارس للتركيب الجزيئي ، هي لماذا تتحد الذرات لتكوين الجزيئات؟ وما هي القوى التي تربط الذرات مع بعضها؟ . وما الذي يجعل بعض التركيب الجزيئية أكثر استقراراً من غيرها؟ . سنجاول في هذا الفصل الاجابة على هذه الأسئلة من خلال الاستفادة من بعض مفاهيم ميكانيك الكم للدراسة مستويات الطاقة الإلكترونية وفق نظريات التآثر والاوربيتالات الجزيئية .

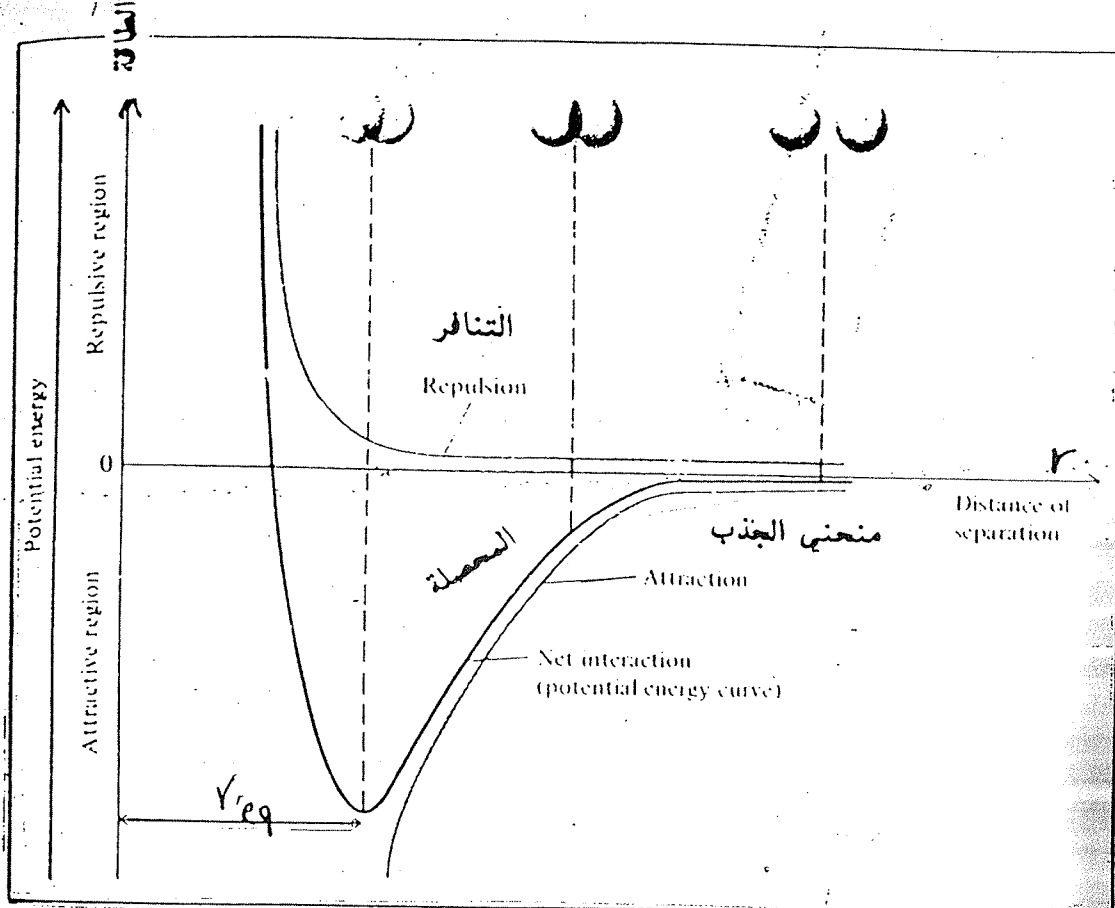
يمكن تصنيف قوى التآثر بين الذرات لتكوين الجزيئات إلى ثلاثة قوى هي : قوى التجاذب بين الالكترونات والنويات ، وقوى التناحر بين أزواج من الالكترونات ، وكذلك قوى التناحر بين أزواج من النويات . وعندما تصل هذه القوى إلى حالة توازن دقيق ، تتأثر الذرات لتكوين جزيئه مستقرة وذات تركيب جزيئي محدد . وأنى محاولة لتغير هذا التركيب سيواجه بهذه القوى التي تحاول إعادة التركيب إلى حالته المستقرة . لذلك فإن التركيب الجزيئي يمثل حالة توازن حقيقة بين قوى التجاذب والتناحر .

٢- منحني الطاقة لجزيء الهيدروجين

Potential Energy Parabola for Hydrogen Molecule

تعبر جزيئه الهيدروجين أبسط جزيئه ، مثلاً تعتبر ذرة الهيدروجين أبسط ذرة . تتكون جزيئه الهيدروجين من ذرتين . فعندما تكون هاتين الذرتين بعيدتين عن بعضها ، لا يوجد أي تأثير من أحدهما على الأخرى ، وكلما قلت المسافة بين الذرتين فإن الالكترون في كل

اوربيتال يبدأ بالتأثير بقوة الجذب من قبل النواة الأخرى . وفي الوقت نفسه يبدأ كل من الالكترونين والنويتين بالتناحر بعضها عن الأخرى . وقيمة هذه الطاقات ليست ثابتة وإنما تتغير مع المسافة (r) بين نوى الذرات ، كما موضح في الشكل (١-٥) . إن شكل المنحني (الذي يمثل علاقة الطاقة الكامنة كدالة للمسافة بين النوى r) هو أحد المميزات المهمة في حقل التركيب الجزيئي . حيث تصبح قوى التجاذب أكثر تأثيراً من قوى التناحر في المسافات البعيدة ، بينما تصبح قوة التناحر أكثر أهمية عند إقتراب الذرتين من بعضها .



الشكل (1-5) منحنى الطاقة لجزيئي الميدروجين

إن وجود الجزيئ مسقراً منوط بحقيقة كون هاتين القوتين تأخذ قيمة دنيا عند النقطة r_{eq} ، حيث أن r_{eq} تدعى بطول آصرة التوازن . وتكون الطاقة الكامنة تساوي صفر عندما تكون المسافة بين الذرتين تساوي مالانهاية . فوق الخط الذي يمثل الطاقة الصفرية ، تكون طاقة النظام موجبة وتمثل حالة عدم الاستقرار . أما أسفل هذا الخط ، فإن الطاقة الكامنة تكون سالبة وتبدا بالقصان حتى تصل القيمة $(\text{أي } r = 0)$. في هذه النقطة تكون الطاقة أقل ما يمكن والجزيء أكثر استقراراً . اتفكر للجزيء فتحسب من الفرق بين قيمة الطاقة الدنيا وقيمتها عندما يكون مالانهاية . وهذا الفرق يسمى بطاقة الترابط الالكترونية E_D .

إذن يتبيّن من المناقشة أن منحنى الطاقة يمثل المحصلة أو الفرق بين قوى التناقض بين الالكترونين والنوتين ، وقوى التجاذب بين الالكترونين والنوتين .

3-5 الناصر في الجزيئات الثنائية الذرة.

Bonds in Diatomic Molecules

يمكن استخدام فكرة الأوربيتالات الالكترونية في الذرات لدراسة الترتيب الالكتروني للجزيئات الثنائية الذرة. حيث لاحظنا (في الفصل الأول) بأن الالكترونات في الذرات لا تخلق الحيز بشكل اعتباطي أو تملك طاقات اعتباطية، وإنما يتم توزيع هذه الالكترونات وطاقاتها بواسطة قوانين ميكانيك الكم، والتعبير عنها بواسطة دوال موجبة ذات ثلاثة أبعاد. والتي تعتمد على مجموعة من أعداد الكم (n, l, m_l, m_s). كما أن هناك قواعد محددة لاستنتاج أي من الأوربيتالات مستقرة، وأي من الانتقالات الالكترونية تكون مسموحة.

يمكن التوسيع في هذه الدراسة لتشمل حالة الجزيئات الثنائية الذرة. إن أفضل فكرة لصياغة شكل الأوربيتال الجزيئي يعتمد على اعتبار أن الأوربيتالات الجزيئية تتكون من مجموع أو فرق الأوربيتالات الذرية المكونة للجزيئه المعينة. وهذا ما يدعوه بطريقة الجمع الخططي للأوربيتالات الذرية Linear Combination of Atomic Orbitals (LCAO)، والذي يعطينا صورة وصفية للتركيب الالكتروني للجزيئات.

عندما تتحدد ذرتان لتكونن جزيئه. فإن أرقام اعداد الكم لهذه الذرات يجب أن ترتبط بمجموعة جديدة من أرقام الكم التي تميز مستويات الطاقة الالكترونية للجزيئه. في الذرة الواحدة يزدوج كلاً من عدد الكم الوريتالي L_1, L_2, \dots لأعطاء L ، وكذلك عدد الكم المغزلي S_1, S_2, S_3, \dots ليعطي محصلة عدد الكم المغزلي الالكتروني S . لذلك تكون محصلة الزخم الزاوي الوريتالي للالكترون في الذرة رقم واحد تساوي

$$\sqrt{S_1(S_1 + 1)} \frac{h}{2\pi} \quad \text{ومحصلة الزخم الزاوي المغزلي تساوي} \quad \frac{h}{2\pi} \sqrt{L_1(L_1 + 1)}$$

وعندما تتحدد هذه الذرة مع ذرة أخرى لها محصلة زخم زاوي اوريتالي $\sqrt{S_2(S_2 + 1)} \frac{h}{2\pi}$ ومحصلة زخم زاوي مغزلي $\sqrt{L_2(L_2 + 1)} \frac{h}{2\pi}$ فإن القيم الممكنة لعدد الكم الوريتالي L والمغزلي S للجزيئه نساوي

$$L = L_1 + L_2, L_1 + L_2 - 1, \dots, |L_1 - L_2|$$

$$S = S_1 + S_2, S_1 + S_2 - 1, \dots, |S_1 - S_2|$$

و

ولما كان للجزيئة ذات الذرتين مجالاً كهربائياً قوياً على طول المحور البيني بين النواتين وعلى شكل اسطواني متاثل القوى ناتج من المجال الكهروستاتيكي للنواتين. فإن محصلة الزخم الزاوي الاوربيتالي تأخذ بالدوران وترسم مخروطاً في الفضاء مسقطه على المحور البيني يساوي $\frac{h}{M_L}$ حيث أن M_L تأخذ القيم $+L$ و $-L$. لذلك يظهر أن المستويات التي لها قيم مختلفة L فقط هي التي تمتلك طاقات مختلفة ويرمز لهذه المستويات المختلفة في الطاقة بعدد كم يرمز له بـ λ . إن القيمة الحقيقة لـ λ تعتبر مقياساً لعدد وحدات الزخم الزاوي (بدلاً من وحدات $\frac{h}{2\pi}$) الناتجة من مسقط الزخم الزاوي الاوربيتالي للالكترون على طول المحور البيني. إن λ (التي تصف الاوربيتالات الجزيئية) يمكنها أن تأخذ القيم.

$$\lambda = 0, 1, 2, 3, \dots$$

وتتمثل هذه الاوربيتالات الجزيئية بـ s, p, δ, \dots على التوالي. ويكفي، هذا التصنيف المستخدم في الذرات عندما: فانها تمثل بـ الاوربيتالات S و P و d و f على التوالي.
ولما كان عدد الكم M_L للذرة المتحدة يأخذ القيم $L \leq M_L \leq L$ فإن تسمية الاوربيتالات الجزيئية تعتمد الصيغ

$$\dots, 3d\delta, 3d\pi, 3d\sigma, 3p\pi, 3p\sigma, 3s\sigma, 2p\pi, 2p\sigma, 2s\sigma, 1s\sigma$$

... الخ. يستخدم الرمز σ لوصف الاوربيتال الجزيئي المكون من اتحاد اوربيتالين ذرين من نوع (S). وتجدر الاشارة هنا أن الاوربيتالات من نوع σ تكون غير منحلة - Non-degenerate إذ أن $\lambda = 0$ أما الاوربيتالات الجزيئية من نوع π أو δ فتكون ثنائية الانحلالية. إذ أن λ في هذه الحالات تأخذ القيم 1^+ و 2^+ على التوالي.

في حالة الجزيئية الثنائية، يمكن أن تصور تكوين الاوربيتال الجزيئي على اساس الجمع او الفرق بين اوربيتالين الذرين وعلى الشكل التالي:

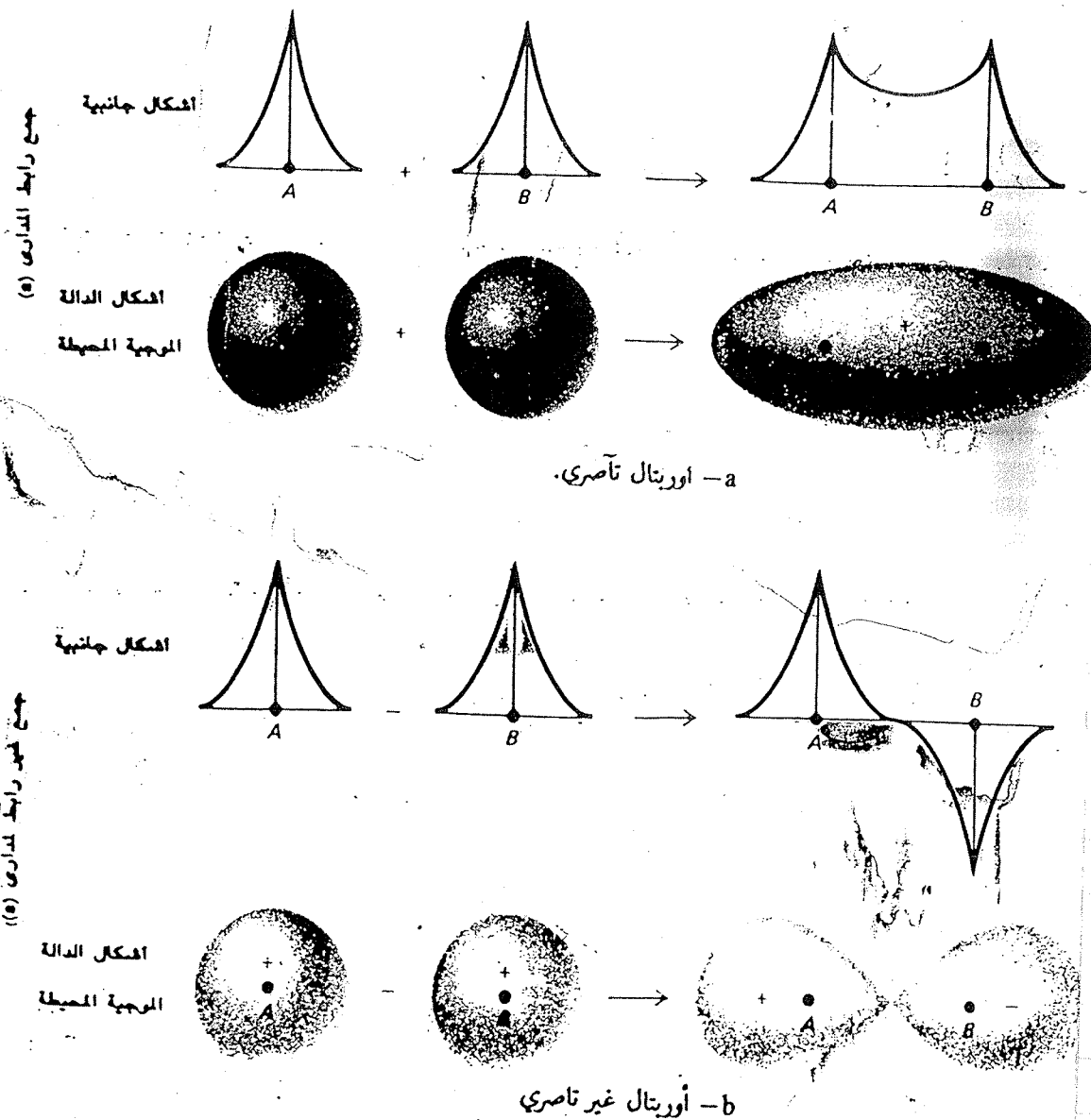
$$\psi_{m_1} = \psi_1 + \psi_2 \quad (\text{bonding})$$

$$\psi_{m_2} = \psi_1 - \psi_2 \quad (\text{anti bonding}) \quad (1-5)$$

حيث أن ψ_{mol} تمثل دالة الموجة للاوربيتال الجزيئي و ψ_1, ψ_2 تمثلان الذوال الموجية لأوربيتال الذرتين (1 و 2) المكونة للجزيئية. وكذلك فإن ψ_{mol}^2 تمثل احتمالية وجود الالكترون في الحيز المعين. فلو أخذنا جزيئه الهيدروجين على سبيل المثال، لوجدنا أن الاوربيتالات الذرية هي من نوع S في كل ذرة، وأن مجموع اوربيتالين هو:

Subj. $\psi_{H_2} = \psi_{1s} + \psi_{1s}$... (5-2)

ψ تمثل دالة الموجة للأوربيتال الجزيئي. فإذا كانت ψ_{1s} موجبة، فإن إتحاد الأوربيتالين النزرين يجعل قيمة ψ_{H_2} تزداد فيكون أوربيتال جزيئي يضوّي الشكل ومتناظر كما موضح في الشكل (5-2a)، ويسمى في هذه الحالة بالأوربيتال التآصري bonding orbital، ويرمز له بالرمز $1S\sigma$



الشكل (5-2) تكوين الأوربيتالات الجزيئية بالجمع الخطى للمسارات النزرة.

أما الشكل (5-2b) فيمثل الأوربيتال الجزيئي الناتج من فرق الأوربيتالين النزرين:

$$\psi_{H_2} = \psi_{1s} - \psi_{1s} \quad \dots (5-3)$$

ويرمز له بالرمز $1S\sigma^*$. والمدار يوصى بأنه غير متآصر (مضاد التآص) ويزداد طاقة الموجة الجزيئية أعلى من طاقة الذررين Anti-bonding orbital المفصولتين. الاشارة (+) تمثل أعلى طاقة.

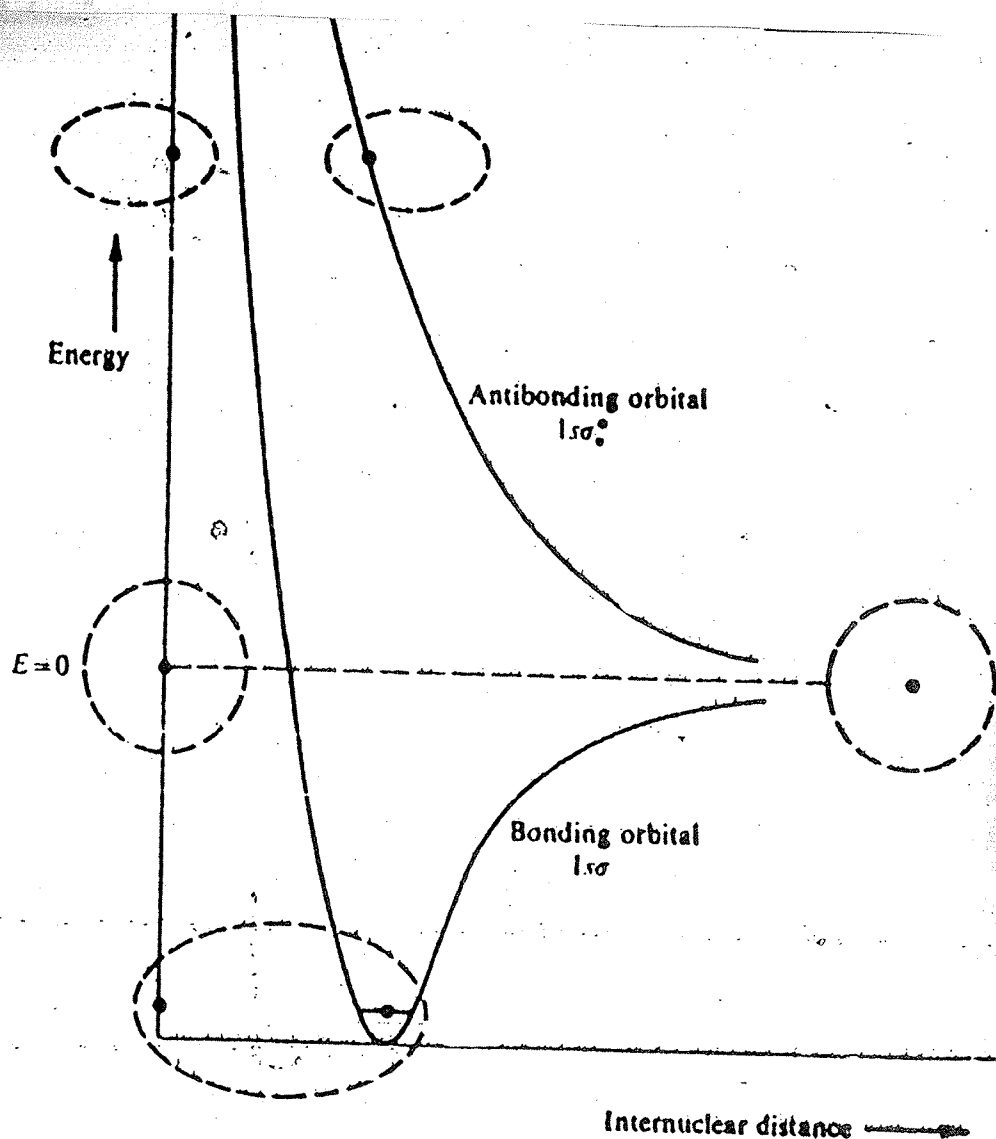
وتكون خاصية تماثل الاوربيات الجزئية في الجزيئات ثنائية الذرة هامة لاملاكها مركز إنقلاب Centre of inversion. فإذا كانت الدالة الموجة متماثلة تحت تأثير الانقلاب في الجزيئية التثنائية المتشابهة الذرتين فإن مركز التمازير يقع في النقطة الوسطية للأصارة بين الذرتين.

يستخدم الرمز (g) للدلالة على الاوريتال الذي يكون متماثل تحت تأثير الانقلاب والرمز (g) مشتق من الكلمة الالمانية gerade أو (متماثل). والرمز الكامل لهذا الاوريتال هو $1S\sigma_g$.

ويستعمل الرمز (U) (مشتق من الكلمة الالمانية Ungerade للأوريتال غير المتماثل) بالنسبة للعكس من خلال المركز. لذلك فإن $1S\sigma_g^*$ يرمز له اي غير متماثل. وفي حالة اوريتال جزئية الهيدروجين فإن الاوريتال التاசري هو من نوع متماثل ، والاوريتال اللاتااصري يكون غير متماثل. اما في حالة الجزيئية الثنائية غير متشابهة الذرات مثل (HI, CO) لا يوجد لها تمازير مركزي. لذلك لا يوجد تصنيف (متماثل او غير متماثل) لأوريتالاتها.

يوضح الشكل (3-5) كيف أن طاقة المدارين $1S\sigma_g^*$ و $1S\sigma_g$ تتغير مع المسافة بين النواتين ان المدار $1S\sigma_g$ يتغير حسب منحنى مورس في الجزيئية الثنائية وإن قاعدة المنخفض في المنحنى يبين بأن الآصرة قد تكونت بين الذرتين.

بينما الاوريتال $1S\sigma_g^*$ لا يعطي اي تحدب (أو إنخفاض) نحو الاسفل ، بل أنه منحنى مستمر يلتقي مع منحنى الاوريتال $1S\sigma_g$ عند حدود طاقة التفكك Dissociation energy.

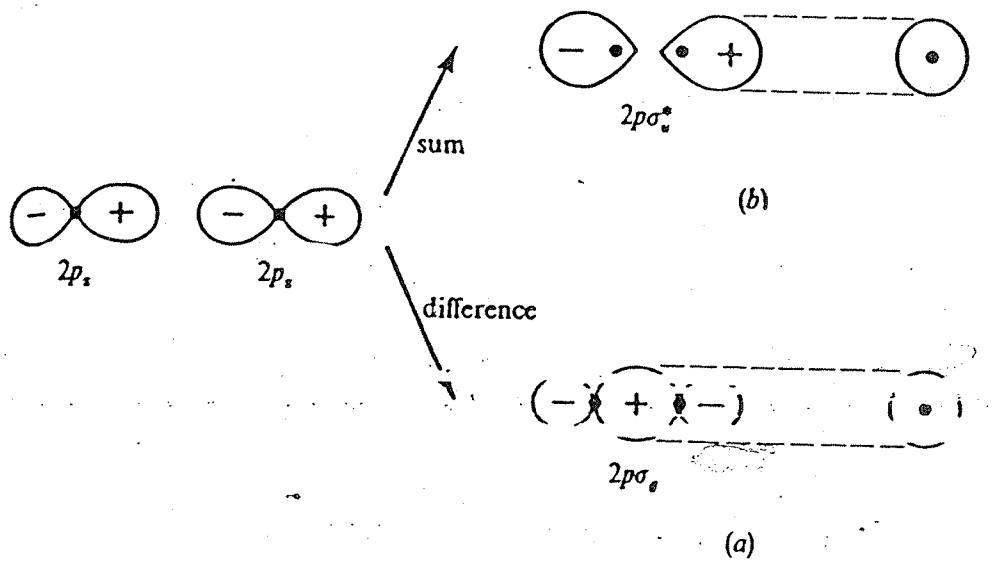


الشكل (3-5) تغير طاقة جزئية الميدروجين مع المسافة بين الذرتين (r) للأوربيتلين $1S\sigma_g$ و $1S\sigma_u^*$.

لقد رأينا سابقاً أن اتحاد اوربيتلين ذريين من نوع $1S$ يعطينا اوربيتلين جزيئيين هما $1S\sigma_g^*$ ، $1S\sigma_u$. غير أن اتحاد اوربيتالات ذرية أخرى من نوع $2S$ فانها تكون $2S\sigma_g^*$ ، $2S\sigma_u$ وتشابه بالشكل مع (ولكنه أكبر وطاقة أعلى من) الاوربيتال $1S\sigma_g$ ، $1S\sigma_u$. أنا الاوربيتالات الجزيئية المكونة من اتحاد اوربيتالات ذرية من نوع (P) فانها تتدخل بطريقتين مختلفتين.

حالة الاوربيتالات الذرية من نوع (P) التي تقع على طول المحور الجزيئي (نفرض ان محور المسافة بين النواتين هو باتجاه Z)، يمكن أن تتحدد لتكوين اوربيتلين جزئيين، كما موضح بالخططات المبينة في الشكل (4-5). فإذا كانت اشارة الدالتين الموجيتين للأوربيتلين الذريين متشابهة، فان الاوربيتال الجزيئي الناتج يؤدي الى زيادة الكثافة

الالكترونية بين النواتين الشكل (4-5a)، والاوربيتال هو متآثر ومن النوع σ^* متاثل (أي ليس له عقدة متعامدة مع المحور الجزيئي ، كما أن المنظر الخلفي له موضع في الجانب اليمين من الشكل يشبه الاوربيتال S الذري).



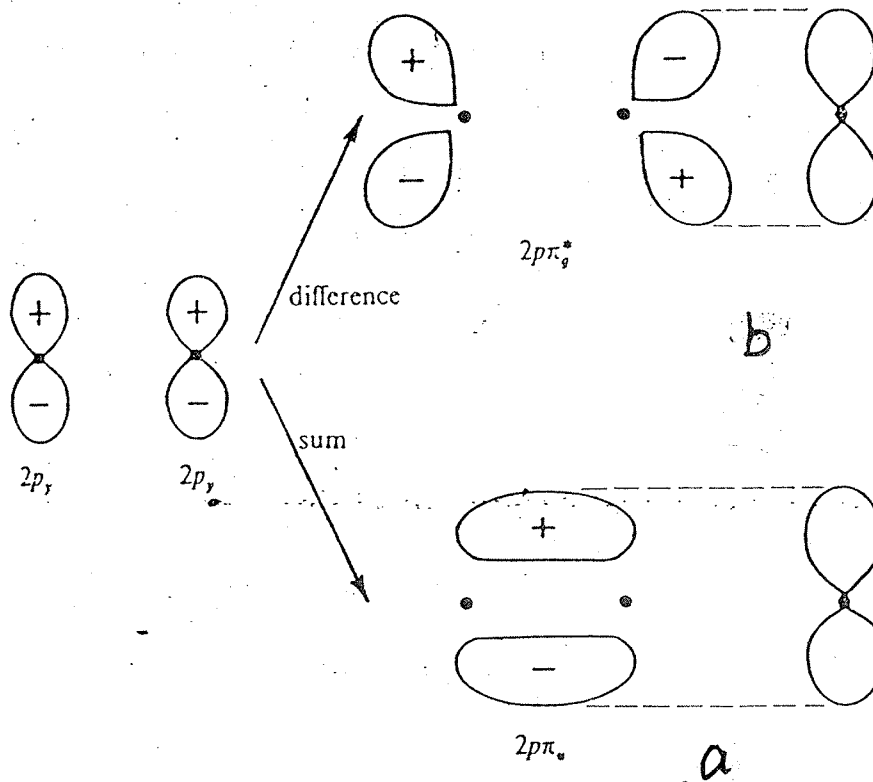
الشكل (4-5) تكوين الاوربيتالات الجزيئية من نوع (a) متآثر $2p\sigma$ و (b) غير متآثر $2p\sigma^*$ نتيجة لجمع اوربيتلين ذريين من نوع $2p_z$

وينفس الطريقة ايضاً ويسبب اختلاف في اشارة الدالتين فإن الاوربيتال الجزيئي الناتج (شكل 4b) يؤدي الى نقصان الكثافة الالكترونية بين النواتين (تساوي صفر). والاوربيتال الجزيئي الناتج هو من نوع σ^* (غير متاثل) في خواصه . ويرمز للأوربيتال المتآثر بـ $2p\sigma$ وغير متآثر بـ $2p\sigma^*$

أما التداخل بين الاوربيتالين $2P_z$ ذات الاسقاط العمودي على المحور المجزئي ، فانها تؤدي الى تكوين اوريتالات جزئية على النحو المبين في الشكل (5-5).

جمع الاوربيتالين من النوع المبين في الشكل (5-5a) يؤدي الى اوريتال جزئي تآصري يتكون من جزيئين احدهما فوق النواتين والآخر أسفل النواتين. والنظر الخلقي لهذا الاوريتال موضح في الجانب اليمين منه ، وهو يشبه اوريتال (P) الذري لذلك ثم تسميه بـ $2p_{\pi}$ إن هذا الاوريتال غير متاثل وبذلك يكون رمزه النهائي $2p_{\pi}$.

End-view



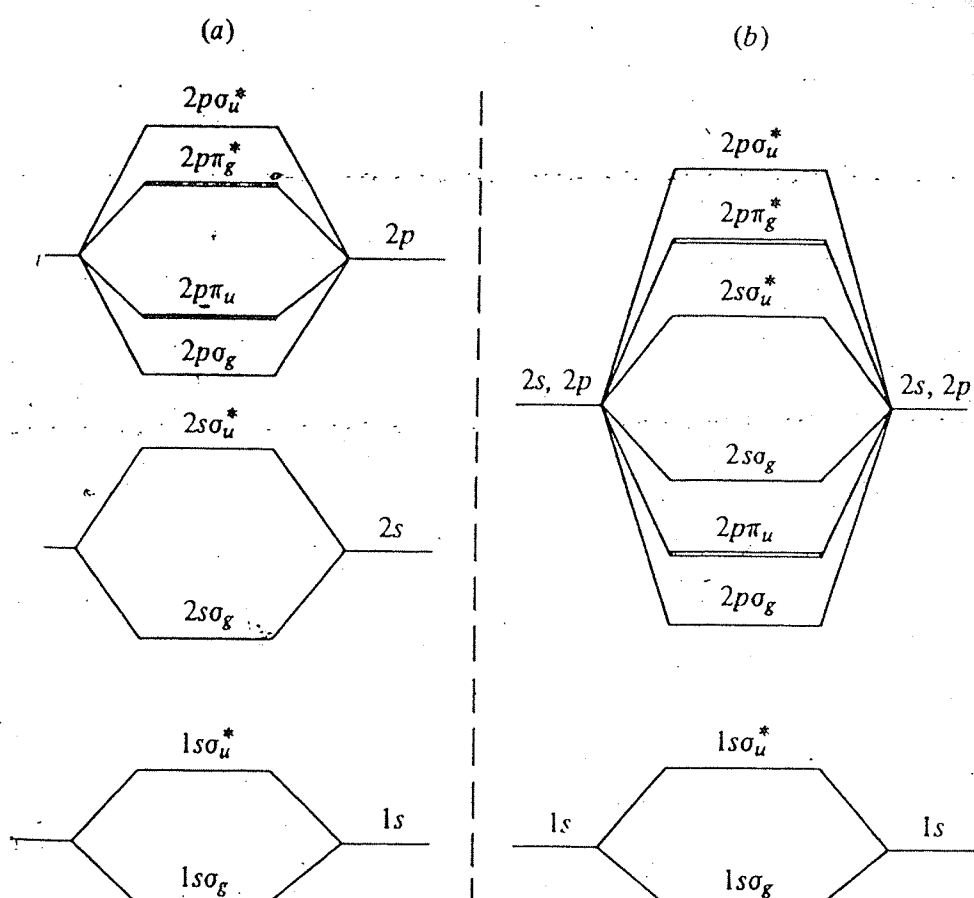
الشكل (5-5) تكوين اوريتالات جزئية من النوع (π) من اتحاد اوريتالات ذرية من النوع ($2P_z$)

وعند جمع الاوربيتالين من النوع المبين في الشكل (5-5b) فإن الاوريتال المجزئي الناتج يكون مشابه للاوريتال $2p_{\pi}^*$ من حيث المظهر الخلقي لكنه من نوع متاثل وغير متاصل ويرمز له بالرمز $2p_{\pi}^*$

أما الاوريتالات المجزئية مثل δ ، δ^+ ، δ^- ، ϕ الخ والتي تنشأ من اتحاد الاوريتالات الذرية f,d,... الخ ، فهي أكثر تعقيداً ولكننا سوف لن نتناولها هنا ، بل مستناداً الى الاوريتالات المجزئية البسيطة مثل σ و π ومعرفة ترتيبها وطاقة كل منها نسبة الى الآخر داخل الجزيئ. تعتمد طاقة الاوريتالات المجزئية المكونة من الجمع الخططي للاوريتالات الذرية على عاملين اساسيين هما نوع الاوريتالات الذرية للذرات المكونة للجزيئات ، ونوع التداخل بين هذه الاوريتالات الذرية.

يوضح الشكل (6-5) مخططات مستويات الطاقة للأوربيتالات الجزيئية للميدروجين (المخطط b في الشكل المذكور)، وللجزيئات ثنائية الذرة المتجانسة الأخرى (المخطط a).

إن الاختلاف بين المخططين لمستويات الطاقة في الشكل (6-5) يرجع إلى الاختلاف في طاقة الأوربيتالات الذرية. فلو أخذنا ذرة الميدروجين على سبيل المثال لوجدنا أن الأوربيتالات الذرية $2S$ و $2P$ تكون متساوية في الطاقة وذلك لكون طاقة الأوربيتالات الذرية للهيدروجين تعتمد على عدد الكلم n فقط (راجع الفصل الأول) ولا تعتمد على عدد الكلم الأوربيتالي l . أما بالنسبة للذرات الأخرى فإن طاقة الأوربيتالات الذرية تعتمد على كل من n و l . لذلك فإن الأوربيتال الجزيئي يأخذ مرتبة الميمنة في الشكل (6a).



(a) جزيئة ثنائية متجانسة

و (b) جزيئة الميدروجين.

الشكل (6-5) مخطط مستويات الطاقة للأوربيتالات الجزيئية.

إن بناء التركيب الإلكتروني في الجزيئات البسيطة يشبه إلى حد ما طريقة إيجاد التركيب الإلكتروني للذرات. حيث توزع الإلكترونات على الأوربيتالات ابتداءً من الأوربيتالات ذات الطاقة الواطئة وحسب قاعدة باولي للاستثناء. ومن المجدير بالذكر أن

الأوربيتالات الجزيئية من نوع $\sigma (\lambda = 0)$ تشبع بالكترونين متعاكسين في الحركة المغزليّة. في حين تشبع الأوربيتالات الجزيئية من نوع $\pi (\lambda = 1)$ بأربعة الكترونات. فعلى سبيل المثال أوأخذنا جزيئه الهيدروجين H_2 نجد أنه في الحالة المستقرة يتواجد الكترونين من الأوربيتالين الذريين $1S$ (الكترون واحد من كل ذرة) ويشغلان الأوربيتال الجزيئي $1S\sigma_g$ ويشرط تعاكس الحركة المغزليّة. وطاقة الإلكترونات في هذه الحالة. وكما ملاحظ من الشكلين (3-5) و (6a-5)، تكون أوطأً من حالة الذرتين المفصولة، لذلك فإن الجزيئية مستقرة. ويمكن كتابة تركيبها الإلكتروني مثل $1S\sigma_g^2$

أما جزيئه الهليوم He فتحتوي أوربيتاتها على أربعة الكترونات (الكترونين من كل ذرة). الكترونين يشغلان الأوربيتال $1S\sigma_g$ ، والكترونين الآخرين تختل الأوربيتال $1S\sigma_g^*$. ولكن من الممكن أن نرى من الشكل ، (3-5) و (6a-5) أن معظم الطاقة قد تنتص من قبل الأوربيتال $1S\sigma_g^*$ بدلًا من انطلاقها من الأوربيتال $1S\sigma_g$ ، لذلك فإن الجزيئية تكون غير مستقرة نسبة إلى الذرات المكونة لهذه الجزيئية.

ولكن لو أخذنا جزيئه النيتروجين N_2 والتي تحتوي على 14 الكترون (سبعة الكترونات في كل ذرة نتروجين) موزعة على شكل $1S^2 2S^2 2p^3$ (شكل 5-6a) ، فإن تركيبها الإلكتروني هو:



وتقريبًا جيد، يمكن أن نفرض أن تأثير التآثر وغير التآثر للأوربيتالين $1S\sigma_g^*$ و $1S\sigma_u^*$ يلغى بعضهما الآخر، وكذلك مع الأوربيتالين $2S\sigma_g^2$ ، $2S\sigma_u^{*2}$. يبقى عندنا ثلاثة أزواج من الإلكترونات في أوربيتالين تآصريين $2p\pi_u^4$ ، $2p\sigma_g^2$ ، لذلك نستنتج أن جزيئه النيتروجين ثلاثة أواصر تساهمية ، واحد من نوع σ واثنين من نوع π ، ان إيجاد الترتيب الإلكتروني للجزيئات بطريقة نظرية الأوربيتال الجزيئي يمكننا من حساب رتبة الأصرة باستعمال العلاقة الآتية :

رتبة الأصرة $\frac{1}{2}$ (عدد الإلكترونات في الأوربيتالات التآصرية - عدد الإلكترونات في الأوربيتالات غير التآصرة).

Excited states of aromatic molecules

1.1 Electronic structure

The number 6 features in many of the properties of carbon. Carbon has an atomic number $Z = 6$; the nucleus of its most abundant isotope C^{12} contains 6 protons and 6 neutrons; the crystal structure of graphite consists of parallel planes in which the carbon atoms are arranged in a regular hexagonal pattern; and the molecular structure of benzene is a similar planar regular hexagon, with the 6 carbon atoms at the corners of the hexagon bonded to the 6 hydrogen atoms.

The electronic configuration of the ground state of the C atom is $1s^2 2s^2 2p^2$. In forming compounds, one of the $2s$ electrons is considered to be excited to a $2p$ state, so that the electronic configuration of a C atom 'prepared for binding' is $1s^2 2s 2p^3$. The four valence electrons ($2s 2p^3$) may take up three alternative configurations in forming molecules, corresponding to valences of 4 (e.g. CH_4 methane), 3 (e.g. C_2H_4 ethylene, C_6H_6 benzene), or 2 (e.g. C_2H_2 acetylene).

In the first configuration, known as *tetragonal or sp^3 hybridization*, the four electron orbitals combine to produce four equivalent hybrid orbitals directed towards the corners of a regular tetrahedron centred on the C nucleus. These four equivalent electron orbitals associate with those of other atoms to give a saturated molecule, such as methane (CH_4).

In the second configuration, known as *trigonal or sp^2 hybridization*, one of the original p -orbitals (say p_z) is unchanged, and three equivalent hybrid orbitals are produced by mixing s , p_x and p_y . These three sp^2 hybrid orbitals lie in the same plane (the xy plane), and they are inclined at equal angles of 120° to each other. It is this configuration which provides the hexagonal ring structure of benzene and the polycyclic aromatic hydrocarbons. The hybrid orbitals, which are symmetrical about their bonding axes and about

the molecular plane, are known as σ -electrons, and the bonds are called σ -bonds. In benzene the σ sp^2 hybrid orbitals of C interact with each other and with the $1s$ orbitals of H in the manner shown diagrammatically in Figure 1.1 to produce the localized C—C and C—H σ -bonds.¹

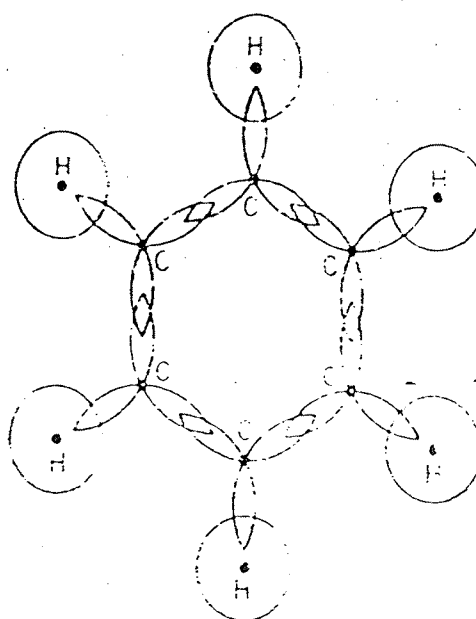


Figure 1.1 The σ -electron orbitals of benzene (after Coulson¹)

The p_x atomic orbital of each C atom is unchanged by the sp^2 hybridization. Its wavefunction is antisymmetric to reflection in the nodal xy molecular plane, and it is known as a π -electron. In benzene the six π atomic orbitals of C interact to produce C—C π -bonds, the additional stabilization

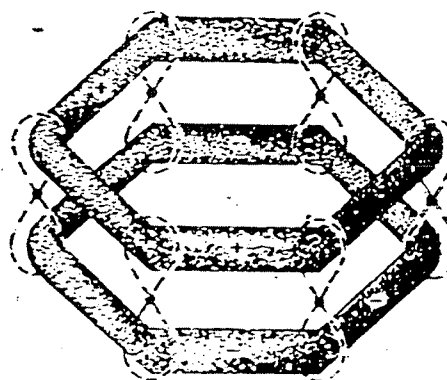


Figure 1.2 The π -electron molecular orbitals of benzene (after Coulson¹)

energy reducing the C—C bond length from 1.54 Å (in C_2H_6) to 1.39 Å (in benzene). Unlike the σ -electrons, the π -electrons are delocalized; the six π atomic orbitals interact to form six delocalized π molecular orbitals, as shown diagrammatically in Figure 1.2.¹ Similar systems of delocalized π -electrons occur in other aromatic molecules. It is the excited states of

these π -electron systems and the various transitions and interactions of these excited states with which this book is primarily concerned.

In the third configuration of the C atom, *digonal or sp hybridization*, two of the original *p*-orbitals (say p_y and p_z) are unchanged, and two equivalent hybrid σ -orbitals are produced by mixing *s* and p_x . These σ -orbitals are directed at 180° to each other along the *x*-axis, which is the line formed by the intersection of the nodal planes of the two *p*-orbitals. This configuration occurs in the linear molecule, acetylene ($\text{H}-\text{C}\equiv\text{C}-\text{H}$). Apart from the C—H and C—C σ -bonds, the p_y and p_z atomic orbitals (π -orbitals) of each C atom are paired to produce two C—C π -bonds, thereby reducing the C—C bond length from 1.54 Å (in C_2H_6) and 1.34 Å (in C_2H_4) to 1.20 Å (in C_2H_2).

1.2 Molecular structure

The art of the organic chemist has led to the synthesis of a vast number of aromatic hydrocarbons, and the reader is referred to Clar's standard treatise² for details of their preparation and properties. The molecular structure of fifty-eight unsubstituted condensed aromatic hydrocarbons is shown in Table 1.1. The nomenclature adopted is that of Clar, apart from a few alternative names in common use which are listed. Table 1.1 includes all the condensed aromatic hydrocarbons with 1, 2, 3 (two compounds), 4 (six compounds) and 5 (fifteen compounds) benzenoid rings, and a selection of compounds with 6 to 13 benzenoid rings. In the unsubstituted compounds the number of π -electrons is equal to the number of C atoms in the molecule. Code numbers for the compounds are introduced for ease of subsequent reference.

The compounds fall into two broad groups:

(a) The *cata*-condensed hydrocarbons (formula, $\text{C}_{4n+2}\text{H}_{2n+4}$, where n = number of benzenoid rings) in which no C atom belongs to more than 2 rings; and

(b) The *peri*-condensed hydrocarbons in which some C atoms lie at the junction of 3 rings (Nos. 4.1, 5.1–5.3, 6.1–6.4, 6.11–6.14, 7.1, 7.3, 7.4, 8.1, 8.3, 8.4, 8.5, 9.1, 9.3, 10.1, 10.2, 11.1, 13.1).

Some of the compounds can be arranged into various series.

(i) The linear series, benzene, naphthaiene, anthracene, tetracene, pentacene, hexacene, etc., are known as the *polyacenes* or *acenes*.

(ii) The series, benzene, phenanthrene, pentaphene, etc., formed by the angular fusion of pairs of benzene, naphthalene, etc. systems to benzene, are known as the *symmetric bicyclic arphenes* (*n* odd).

Sul (iii) The series, naphthalene, tetraphene, hexaphene, etc., formed by similar angular fusion to naphthalene, are known as the *asymmetric phenes* (n even).

(iv) The series, benzene, naphthalene, phenanthrene, 3:4-benzophenanthrene, 3:4:5:6-dibenzophenanthrene and hexahelicene, in which the lines joining the centres of successive fused rings are at 120° to each other and trace out the sides of a large hexagon, form the series of *helicenes*. In 3:4-benzophenanthrene and higher compounds, steric hindrance between the H atoms on the inside of the large hexagon distorts the ring system out of planarity, so that in hexahelicene the large hexagon forms the first loop of a spiral. In the higher compounds, heptahelicene (No. 7.2), octahelicene (No. 8.2) and nonahelicene (No. 9.2), the spiral continues, so that there is an overlap of 1, 2 and 3 rings, respectively.

4 Selection rules

An electronic state is characterized by certain basic properties: its energy, its multiplicity, and its symmetry, which in centro-symmetric molecules includes the parity. The multiplicity, symmetry and parity lead to important selection rules which influence the probability of transitions between the different electronic states.

* **Multiplicity.** A condensed aromatic hydrocarbon contains an even number of electrons. In the unexcited molecule the electron spins are paired by the Pauli principle to give the ground electronic singlet state (1A) of the molecule. If a π -electron is excited without change of spin, the resultant excited electronic state of the molecule is a singlet state. If a π -electron is excited and its spin is reversed in the transition, the resultant excited electronic state of the molecule is a triplet state. The terms 'singlet' and 'triplet' refer to the multiplicity of the electronic state, which describes its degree of degeneracy in the absence of a perturbing magnetic field. The application of a magnetic field to the molecule does not affect a singlet state: it removes the degeneracy of a triplet state and splits it into three distinct Zeeman levels.

Electric dipole transitions between electronic states of different multiplicity are spin-forbidden. This *multiplicity selection rule* has a major influence on photophysical processes in aromatic molecules. The intensity of an absorption transition from the singlet ground state 1A to the first excited triplet state 3L_a is only $\sim 10^{-8}$ that of the spin-allowed absorption transition to the excited singlet state 1L_b , corresponding to a spin-forbiddenness factor $f_M \sim 10^8$. The finite value of f_M is due to *spin-orbit interaction*, which couples the eigenfunctions of the singlet and triplet states.⁴ As a result of this perturbation, small amounts of triplet wavefunctions are mixed with the singlet wavefunctions, and *vice versa*, and we thus obtain a small, but finite, singlet-triplet transition probability (§6.12).

The spin-orbit interaction in the aromatic hydrocarbons is small, because of the low atomic numbers of their constituent carbon and hydrogen atoms. The large value of $f_M \sim 10^8$ for the ${}^3L_a - {}^1A$ transition is also due to the large energy separation between the interacting states. There is increased spin-orbit coupling between higher excited singlet and triplet states, which are closer in energy, and this results in a decrease of f_M for transitions between these states. Spin-orbit coupling is also increased by the inclusion of 'heavy atoms' of higher atomic number into the molecules or into their environment (§6.7).

*** Symmetry.** Electric dipole transitions between electronic states of the same symmetry are forbidden, and this *symmetry selection rule* influences the probabilities of transitions between the different electronic states. On the PECO model the symmetries of the 1L_b and 1L_a states are similar to that of the ground (1A) state, so that ${}^1A - {}^1L_b$ and ${}^1A - {}^1L_a$ electronic transitions are symmetry-forbidden. The symmetries of the 1B_b and 1B_a states differ from that of the 1A state, so that ${}^1A - {}^1B_b$ and ${}^1A - {}^1B_a$ transitions are symmetry-allowed. The intensity of the ${}^1A - {}^1L_b$ absorption is observed (Chapter 3) to be $\sim 10^{-2} - 10^{-3}$ that of the ${}^1A - {}^1B_{a,b}$ absorption, corresponding to a symmetry-forbiddenness factor $f_S \sim 10^2 - 10^3$. For the ${}^1A - {}^1L_a$ absorption transition $f_S \sim 10$.

The symmetry-forbiddenness factor $f_s \sim 10 - 10^3$ is finite because of the presence of molecular vibrations which modify the symmetry of the pure electronic state.⁵ For example, the PFOE electronic states of benzene correspond to the following symmetry species:

Benzene:

$${}^1A = {}^1A_{1g}; \quad {}^{1,3}L_b = {}^{1,3}B_{2u}; \quad {}^{1,3}L_a = {}^{1,3}B_{1u}; \quad {}^{1,3}B = {}^{1,3}E_{1u}$$

The only transitions from the ${}^1A_{1g}$ ground state of benzene which are symmetry-allowed and polarized in the plane of the molecule are those to a state of overall symmetry E_{1u} so that the ${}^1A - {}^1B$ electronic transition is allowed. The first excited electronic singlet state 1L_b has B_{2u} symmetry. However, if this is combined with a vibrational state in which an e_{2g} mode is excited, then the total symmetry of the vibronic (electronic + vibrational) state is E_{1u} ($B_{2u} \cdot e_{2g} = E_{1u}$). In the gas phase the O—O absorption band, corresponding to the pure ${}^1A_{1g} - {}^1B_{2u}$ electronic transition, is not observed, since it is symmetry-forbidden. However, vibronic absorption bands associated with e_{2g} vibrational modes are observed, since these are symmetry-allowed. These E_{1u} vibronic bands derive their intensity by coupling to the allowed ${}^1E_{1u}$ (1B) electronic state. The ${}^1A - {}^1L_a$ absorption transition, which is also symmetry-forbidden, derives its vibrationally-induced intensity in a similar manner.

* **Parity.** The PFOE electronic states of naphthalene, anthracene and the higher polyacenes correspond to the following symmetry species:

Polyacenes:

$$\begin{aligned} {}^1A &= {}^1A_g; & {}^{1,3}L_a &= {}^{1,3}B_{2u}; & {}^{1,3}L_b &= {}^{1,3}B_{3u}; & {}^{1,3}B_g &= {}^{1,3}B_{2u} \\ & & {}^{1,3}B_b &= {}^{1,3}B_{3u}; & {}^{1,3}K_a &= {}^{1,3}B_{1g}; & {}^{1,3}K_b &= {}^{1,3}B_{1g} \\ & & {}^{1,3}C_a &= {}^{1,3}B_{1g}; & {}^{1,3}C_b &= {}^{1,3}A_{1g} \end{aligned}$$

In centrally symmetric systems, the states are divided into those of 'even' ($g = \text{gerade}$) and 'odd' ($u = \text{ungerade}$) parity, depending on whether the

electronic wavefunction is symmetric or antisymmetric with respect to reflection in the centre of gravity. The *parity selection rule*, which is a special case of the symmetry selection rule, is that electric dipole transitions between states of the same parity are forbidden.

Subject:

According to this selection rule, transitions from the even-parity ground state (1A_g) to excited electronic states of odd (u) parity are allowed, but those to excited electronic states of even (g) parity are forbidden. Hence the main absorption spectrum of the polyacenes is assigned to the spin-allowed and parity-allowed transitions to the $^1L_{a,b}$ and $^1B_{a,b}$ states.

Platt³ has assigned a relatively intense transition which is observed in the absorption spectra of the polyacenes between the allowed $^1A - ^1B_b$ and $^1A - ^1B_a$ transitions to the parity-forbidden $^1A - ^1C_b$ transition. This assignment appears to be confirmed by recent observations of $S_1 - S_p$ absorption spectra by nanosecond photolysis (§3.10). It is probable that molecular vibrations and interactions with adjacent states distort the symmetry and parity of the higher excited electronic states.

The first excited singlet and triplet states of the polyacenes are of odd (u) parity. Absorption transitions from these states to higher excited singlet and triplet states, respectively, of even (g) parity are allowed. The transient absorption spectra corresponding to these transitions, which can be observed by flash photolysis (§3.10), provide a means of studying excited states of even (g) parity not readily seen in the normal absorption spectrum.

Photophysical processes

2.1 Introduction

A *photophysical process* is defined as a physical process (i.e. one which does not involve a chemical change) resulting from the electronic excitation of a molecule or system of molecules by non-ionizing electromagnetic radiation (photons). The photophysics of organic molecules is relevant to their photochemistry and to photobiology (§11.14), although photochemical processes will only be referred to *en passant*.

Photophysical processes also occur following the excitation of an organic molecular system by *ionizing radiation*. The relation of these processes to the radiation physics and to the scintillation mechanism in such systems has been discussed elsewhere¹ (§11.11). The radiation physics of organic molecular systems is relevant to their radiation chemistry and to radiation biology. Recent studies have also been made of the excitation of aromatic molecules by *non-ionizing electron beams*, and the connection between such electron excitation and photon excitation has been discussed, with particular reference to benzene and naphthalene² (§6.8).

We shall mainly deal with the photophysical processes which occur in the condensed aromatic hydrocarbons and their simple derivatives. This group of compounds has been studied in most detail, though many of the processes considered are common to other aromatic compounds. To generalize the discussion, we introduce the following simple notation for the electronic states.

S_0	ground singlet state
S_1	first excited singlet state
S_p ($p > 1$)	higher excited singlet states
T_1	first excited triplet state
T_q ($q > 1$)	higher excited triplet states
1M	molecule in S_0
$^1M^*$	molecule in S_1
$^1M^{**}$	molecule in S_p
$^3M^*$	molecule in T_1
$^3M^{**}$	molecule in T_q

Subject:

The singlet states, together with their associated vibrational levels (Chapter 3) constitute the *singlet manifold*. The triplet states, together with their associated vibrational levels, constitute the *triplet manifold* (Figure 1).

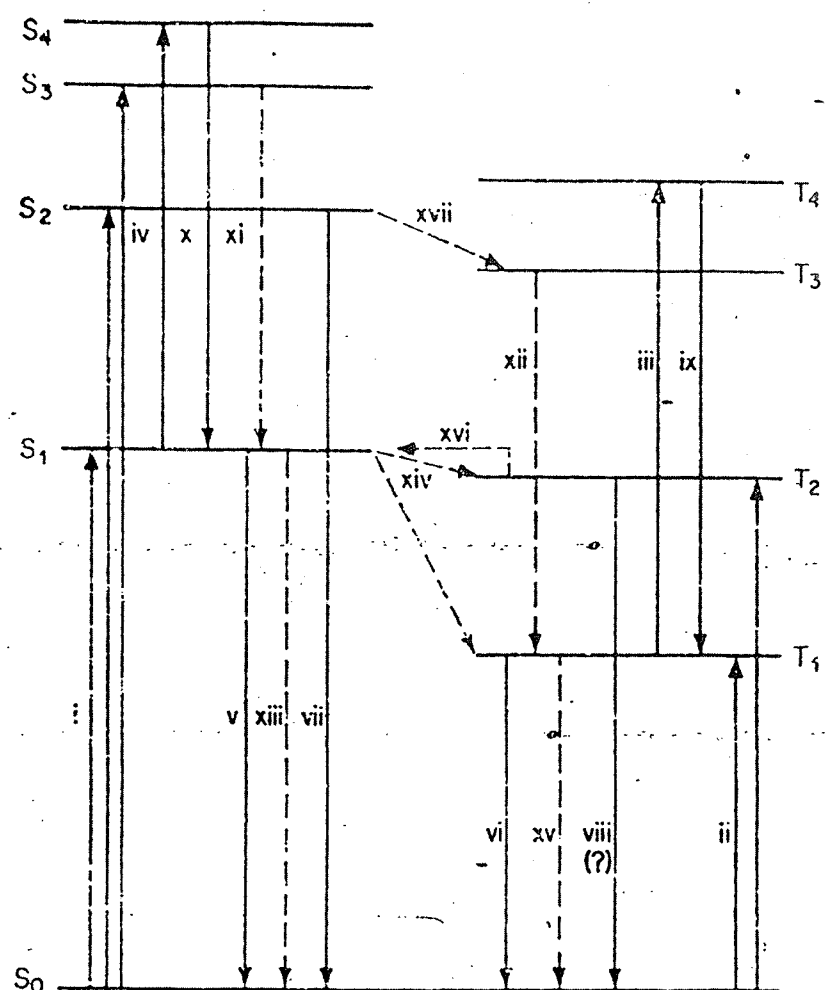


Figure 2.1. Unimolecular photophysical processes. Solid lines, radiative transitions; broken lines, radiationless transitions

! Unimolecular processes

The unimolecular photophysical processes that can occur in an isolated molecule in the vapour phase at low pressure, or in dilute solution in a transparent medium, can be divided into the following categories.

- (a) *Radiative excitation (absorption) transitions* in which the molecule is excited from a lower to a higher electronic state by the absorption of a photon.
- (b) *Radiative de-excitation (luminescence) transitions* in which the molecule is de-excited from a higher to a lower electronic state by the emission of a photon. A radiative transition between states of the same multiplicity is described as *fluorescence*. A radiative transition between states of different multiplicity is described as *phosphorescence*.
- (c) *Radiationless transitions* between isoenergetic vibrational levels of different electronic states. Such transitions are normally preceded by radiationless thermal activation of the initial electronic state, and/or followed by radiationless thermal de-activation of the final electronic state (Chapter 5). A radiationless transition between states of the same multiplicity is described as *internal conversion*. One between states of different multiplicity is described as *intersystem crossing*.

Absorption transitions

- (i) $S_0 - S_1$ and $S_0 - S_p$ absorption is spin-allowed, and it corresponds to the main electronic absorption spectrum (Chapter 3).
- (ii) $S_0 - T_1$ and $S_0 - T_q$ absorption is spin-forbidden, but it can be observed by using long light paths, intense light sources, or perturbation methods (§6.8).
- (iii) $T_1 - T_q$ absorption is commonly observed by flash photolysis (§6.9). T_1 is populated by intersystem crossing [see (xiv) below] from S_1 , which is initially excited by an intense light flash. The transient absorption is observed during the T_1 excitation lifetime.
- (iv) $S_1 - S_p$ absorption is observed by nanosecond flash photolysis (§3.10). S_1 is initially populated by an intense light flash of very short duration, and the transient absorption is observed during the S_1 excitation lifetime.

S Luminescence transitions

- (v) $S_1 - S_0$ fluorescence of short duration ($\sim 1 - 10^3$ ns) corresponds to the normal fluorescence emission (Chapter 4).
- (vi) $T_1 - S_0$ phosphorescence generally occurs, but it is of longer duration ($\sim 1 - 10^4$ ms) than the fluorescence, because it is a spin-forbidden transition (Chapter 6).
- (vii) $S_p - S_0$ fluorescence has been observed in a few compounds, notably azulene (§5.13).
- (viii) $T_q - S_0$ phosphorescence has been reported in fluoranthene and a few other compounds (§5.13), but it is a very improbable process.
- (ix) $T_q - T_1$ fluorescence corresponding to the inverse of the $T_1 - T_q$ absorption (iii), has been reported in azulene and naphthalene (§6.14).
- (x) $S_p - S_1$ fluorescence, the inverse of (iv), is a possible process, yet to be observed.

Radiationless transitions (Chapter 5)

- (xi) $S_2 - S_1$ and $S_p - S_{p-1}$ internal conversion usually occurs rapidly. This accounts for the negligible yield of $S_p - S_0$ fluorescence from most molecules.
- (xii) $T_2 - T_1$ and $T_q - T_{q-1}$ internal conversion is usually rapid, and this accounts for the negligible yield of $T_q - S_0$ phosphorescence from most molecules.
- (xiii) $S_1 - S_0$ internal conversion to the ground state, and
- (xiv) $S_1 - T_1$ and $S_1 - T_q$ intersystem crossing constitute the internal quenching of S_1 , which competes with the normal fluorescence (v).
- (xv) $T_1 - S_0$ intersystem crossing competes with the normal phosphorescence (vi).
- (xvi) $T_1 - S_1$ intersystem crossing may occur by thermal activation of T_1 during its excitation lifetime to a vibrational level isoenergetic with S_1 . This process leads to *E-type* (eosin-type) delayed fluorescence, which has the same spectrum as the normal fluorescence (v), but different temperature and time characteristics (§8.2).
- (xvii) $S_p - T_q$ intersystem crossing from higher excited singlet states (${}^1M^{**}$) has been observed in some compounds (§6.13).

These various unimolecular processes, which are shown diagrammatically in Figure 2.1, and enumerated in Table 2.1, are discussed more fully in subsequent chapters.

Table 2.1 Unimolecular photophysical processes

Process	Description	Rate parameter
1M processes		
${}^1M + h\nu \rightarrow {}^1M^*$	$S_0 - S_1$ absorption (i)	—
${}^1M + h\nu \rightarrow {}^1M^{**}$	$S_0 - S_p$ absorption (i)	—
${}^1M + h\nu \rightarrow {}^2M^+ + {}^2e^-$	Photoionization	—
${}^1M + 2h\nu \rightarrow {}^1M^*$	Biphotonic absorption (xxiii)	—
${}^1M + h\nu \rightarrow {}^3M^*$	$S_0 - T_1$ absorption (ii)	—
${}^1M + h\nu \rightarrow {}^3M^{**}$	$S_0 - T_q$ absorption (ii)	—
${}^1M^*$ processes		
${}^1M^* \rightarrow {}^1M + h\nu_M$	$S_1 - S_0$ fluorescence (v)	k_{FM}
${}^1M^* \rightarrow {}^1M$	$S_1 - S_0$ internal conversion (xiii)	k_{GM}
${}^1M^* \rightarrow {}^3M^*$	$S_1 \rightarrow T_1$ intersystem crossing (xiv)	k_{TM}
${}^1M^* \rightarrow {}^3M^{**}$	$S_1 \rightarrow T_q$ intersystem crossing (xiv)	k_{IM}
${}^1M^* + h\nu \rightarrow {}^1M^{**}$	$S_1 - S_p$ absorption (iv)	—
${}^1M^* + h\nu \rightarrow {}^2M^+ + {}^2e^-$	S_1 photoionization (xxii)	—
${}^1M^{**}$ processes		
${}^1M^{**} \rightarrow {}^1M^*$	$S_p - S_1$ internal conversion (xi)	k_{MH}
${}^1M^{**} \rightarrow {}^1M + h\nu_H$	$S_p - S_0$ fluorescence (x)	k_{FH}
${}^1M^{**} \rightarrow {}^3M^{**}$	$S_p \rightarrow T_q$ intersystem crossing (xvii)	k_{TH}
${}^1M^{**} \rightarrow {}^1M$	$S_p - S_0$ internal conversion	k_{GH}
${}^3M^*$ processes		
${}^3M^* \rightarrow {}^1M + h\nu_P$	$T_1 - S_0$ phosphorescence (vi)	k_{PT}
${}^3M^* \rightarrow {}^1M$	$T_1 - S_0$ intersystem crossing (xv)	k_{GT}
${}^3M^* \rightarrow {}^1M^*$	$T_1 - S_1$ intersystem crossing (xvi)	k_{MT}
${}^3M^* + h\nu \rightarrow {}^3M^{**}$	$T_1 - T_q$ absorption (iii)	—
${}^3M^* + h\nu \rightarrow {}^2M^+ + {}^2e^-$	T_1 photoionization (xxi)	—
${}^3M^{**}$ processes		
${}^3M^{**} \rightarrow {}^3M^*$	$T_q - T_1$ internal conversion (xii)	k_{TK}
${}^3M^{**} \rightarrow {}^1M + h\nu$	$T_q - S_0$ phosphorescence (?) (viii)	k_{PK}
${}^3M^{**} \rightarrow {}^1M^*$	$T_q - S_1$ intersystem crossing (xvi)	k_{MK}
${}^3M^{**} \rightarrow {}^3M^* + h\nu$	$T_q - T_1$ fluorescence (ix)	k_{FK}

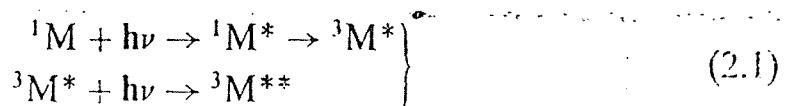
2.3 Biphotonic processes

When the molecular system is irradiated by an intense light source (e.g. a laser beam), additional biphotonic processes can occur, corresponding to the absorption of two photons by the same molecule. The two photons may be of the same or different energies, and they may be absorbed at the same time or at different times.

Three pairs of the processes already considered are biphotonic in nature, namely (a) $T_1 - T_q$ absorption (iii), following $S_0 - S_1$ absorption (i) and $S_1 - T_1$ intersystem crossing; (b) $T_1 - T_q$ absorption (iii), following $S_0 - T_1$ absorption (ii); and (c) $S_1 - S_p$ absorption (iv), following $S_0 - S_1$ absorption (i). The photons used to study the transient $T_1 - T_q$ and $S_1 - S_p$

absorptions normally differ in energy from those used for the initial excitation. However, with intense monochromatic beams the corresponding biphotonic processes can occur:

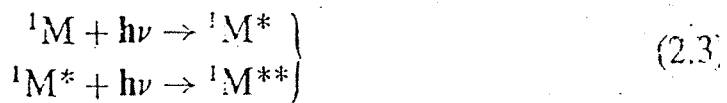
(xviii) $S_0 - S_1$ absorption, followed by $S_1 - T_1$ intersystem crossing, and $T_1 - T_q$ absorption, i.e.



(xix) $S_0 - T_1$ absorption followed by $T_1 - T_q$ absorption, i.e.



(xx) $S_0 - S_1$ absorption followed by $S_1 - S_p$ absorption, i.e.



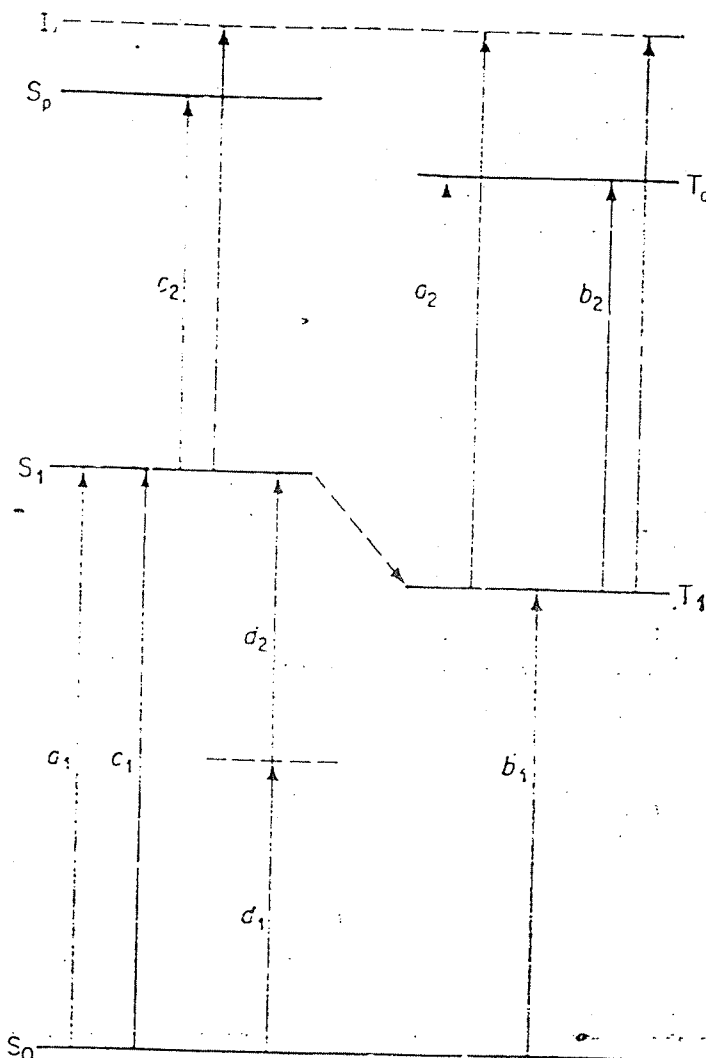


Figure 2.2 Biphotonic photophysical processes.
 $a_1 a_2; b_1 b_2; c_1 c_2; d_1 d_2$. I = ionization potential

The energy of the higher excited state (${}^2M^{**}, {}^1M^{**}$) thus produced by the biphotonic process may exceed the molecular ionization energy, so that the following processes may occur (§6.15).

(xxi) *Biphotonic ionization via T_1* , i.e. (xviii) or (xix), followed by



(xxii) *Biphotonic ionization via S_1* , i.e. (xx), followed by



A further biphotonic process which has been observed with laser beam excitation is

(xxiii) *$S_0 - S_p$ double-photon excitation*, produced by the simultaneous absorption of two photons, each of energy less than S_1 , by the same molecule (§3.11).

These various biphotonic processes are shown diagrammatically in Figure 2.2.

2.4 Bimolecular processes

The photophysical processes so far enumerated can all occur in isolated molecules. Additional processes occur in concentrated or aggregated systems due to interactions with molecules of the same species, or in mixed molecular systems due to interactions with molecules of a different species. Interactions between two molecules of the same species are referred to as *homopolar bimolecular processes*. Interactions between two molecules of different species are referred to as *heteropolar bimolecular processes*.

The various bimolecular processes can be divided into five broad types:

- (a) perturbation processes;
- (b) excitation migration and transfer processes;
- (c) complex formation by two unexcited molecules;
- (d) complex formation by an excited molecule and an unexcited molecule; and
- (e) interaction between two excited molecules.

We shall enumerate some representative examples of each type of interaction.

(a) Interaction with an adjacent molecule (or molecules) may perturb the energy levels of the excited aromatic hydrocarbon molecule, and modify its photophysical properties and behaviour. The *Davydov splitting* which modifies the absorption characteristics of an aromatic crystal can be considered as a homopolar perturbation process (§11.3). The *enhancement*

Absorption

i. Vibronic States:

The total energy E_t of a molecule in its electronic ground state (excluding translational energy, and internal nuclear energy),

$$E_t = E_e + E_v + E_r \quad \textcircled{1}$$

is the sum of three components, the electronic energy E_e , the vibrational energy E_v and the rotational energy E_r .

Similarly, the total energy E'_t of a molecule in an excited electronic state:

$$E'_t = E'_e + E'_v + E'_r \quad \textcircled{2}$$

is the sum of its electronic, vibrational and rotational components E'_e, E'_v, E'_r respectively.

If we define an absorption transition as:

$$\Delta E_x = E'_x - E_x \quad \textcircled{3}$$

Where $x=t, e, v \text{ or } r$, then:

$$\Delta E_r \approx 10 \text{ cm}^{-1}, \quad \Delta E_v \approx 1000 \text{ cm}^{-1},$$

$$\Delta E_e \approx 30,000 \text{ cm}^{-1},$$

Transitions involving only ΔE_r ($\Delta E_e = \Delta E_v = 0$) yield the rotational absorption spectrum, which occurs in the far infrared region.

Transitions involving ΔE_v , ΔE_r ($\Delta E_e = 0$) yield the vibrational and vibrational-rotational absorption spectrum, which occur in the near infrared region.

Transitions involving ΔE_e , ΔE_v (ΔE_r can be neglected in comparison with ΔE_e , ΔE_v) yield the electronic and electronic-vibrational absorption spectrum, which occurs in the visible and ultraviolet region.

A state involving electronic and vibrational energy is referred to as vibronic state, and a transition between two such states is a vibronic transition.

Each electronic absorption transition ΔE_e gives rise to an absorption band system, each band of which corresponds to a different value of ΔE_v .

Lower \rightarrow LV

Upper \rightarrow UV ex_hll

: ex_gbl

A molecule or complex or an aromatic hydrocarbon possesses many alternative vibrational modes, but only a few of these, such as C-C stretching vibrations are normally dominant in the room temperature electronic absorption spectrum.

Let consider a molecule in which only one vibrational mode is dominant, so that it approximates to a harmonic oscillation; the energy of the fundamental vibrational mode in the ground electronic state is E_{UV} , then:

$$E_t = E_e + \left(m + \frac{1}{2}\right) E_{UV} \quad \text{G}$$

Where $m = 0, 1, 2, 3, \dots$ is the vibration quantum number.

If the energy of the fundamental vibrational mode in the excited electronic state is E'_{UV} then:

$$E'_t = E'_e + \left(n + \frac{1}{2}\right) E'_{UV} \quad \text{E}$$

Where $n = 0, 1, 2, \dots$

If the ground state system is in thermal equilibrium at a absolute temperature T , the fraction f_m of ground state molecules in a vibrationally excited state m is determined by the Boltzmann factor:

$$f_m = \exp(-mE_{LV}/kT) \quad (7)$$

k is Boltzmann's Constant.

Since $E_{LV} \approx 1000 \text{ cm}^{-1}$, and $kT \approx 200 \text{ cm}^{-1}$ at room temperature,

$$f_1 \approx e^{-5} = 6.7 \times 10^{-3}$$

$$f_2 \approx e^{-10} = 4.5 \times 10^{-5}, \text{ etc.}$$

i.e over 99% of the molecules are in the zero point vibrational level of energy.

$$E_t = E_e + \frac{1}{2} E_{LV} \quad (8)$$

The transitions constituting the main electronic absorption spectrum are given by:

$$\Delta E_t = (E'_e - E_e) + \frac{1}{2} (E'_{VV} - E_{LV}) + n E'_{VV} \quad (8)$$

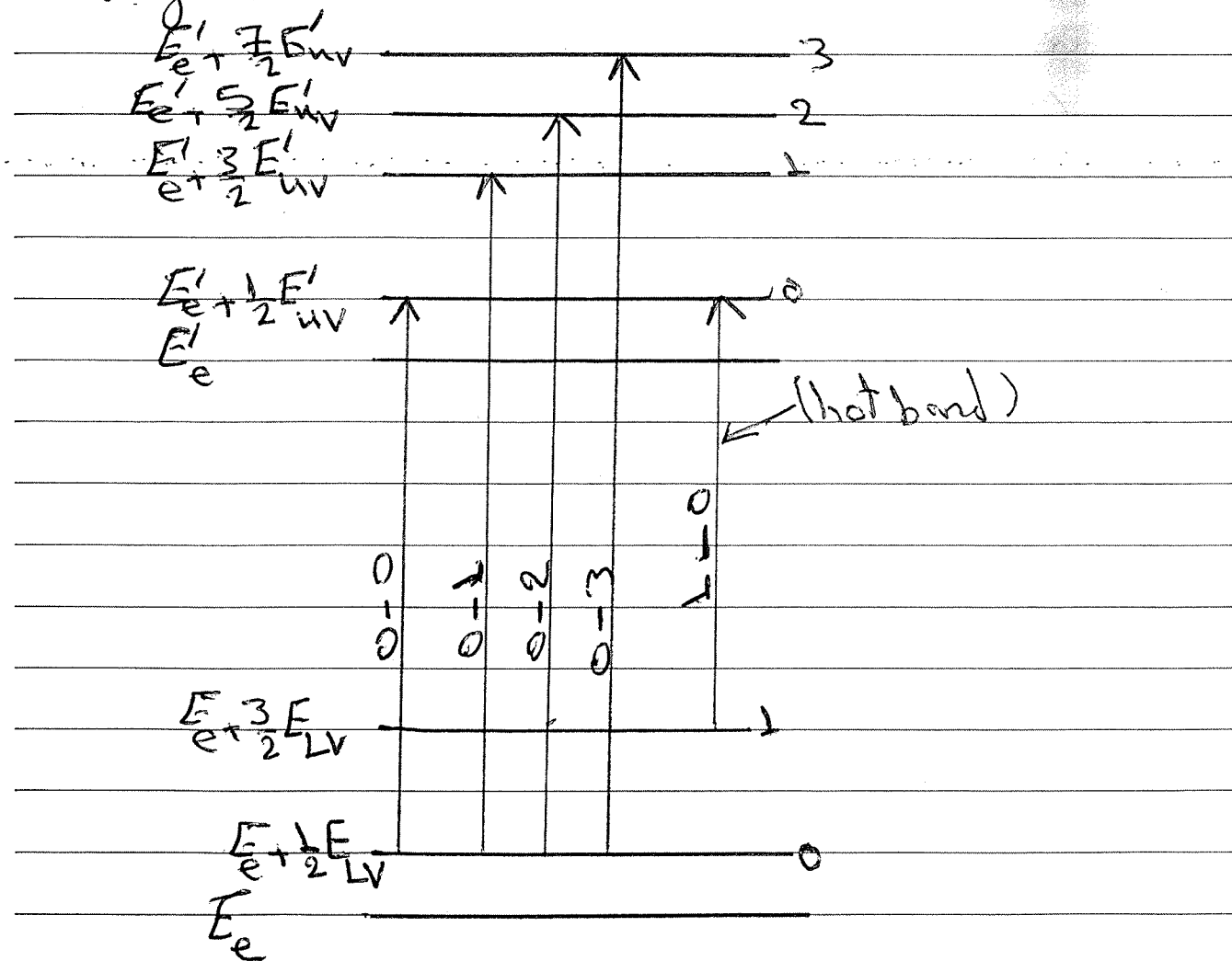
$$\Rightarrow \Delta E_t \approx (E'_e - E_e) + n E'_{VV} \quad (9)$$

Since $E'_{VV} \approx E_{LV}$.

The lowest energy vibronic transition in a given band system ($n=0$) is described as the $0-0$ transition.

The transition to the (n^*) vibrational level of E_f is the $0-n$ vibronic transition.

The main electronic absorption spectrum thus yields data about the vibrational levels (nE') of the excited electronic state, as in the figure:



Vibronic absorption transitions,

The $1-0$ transition is a hot band.

2. Hot bands:

Sometimes weak absorption bands are observed adjacent to, but at lower energies than, the lowest energy $\sigma\text{-}\sigma$ transition in the main electronic absorption spectrum. These are known as hot bands, and they represent transitions from the vibrationally excited ground state E_g ($m=1, 2$) to E'_g ($n=0$).

The hot bands lie at energies of mE_g below the $\sigma\text{-}\sigma$ transition, and their intensity decreases with T , according to the Boltzmann factor f_m (in eq. 6).

* The study of hot bands as a function of T has proved useful in the solution of the lowest $\sigma\text{-}\sigma$ transition in molecules in which the latter transition is weak or forbidden by symmetry (e.g. benzene).

3. The Extinction Coefficient:

If a monochromatic beam of light of intensity I_0 is incident normally on a specimen of thickness d (cm), containing n' molecules of the absorbing species per cm^3 , the intensity of the emergent beam is

$$I = I_0 e^{-n' d} = I_0 e^{-M d} \quad (10)$$

defines the molecular absorption cross-sections (cm^2), and the absorption coefficient μ (dm^{-1}).

These parameters are commonly expressed in terms of the decadic molar extinction coefficient ϵ , defined by:

$$I = I_0 e^{-\epsilon [M] d} \quad (11)$$

Where $[M]$ is the molar concentration (mole/liter) of the absorbing species.

Since:

$$n' = N [M] \times 10^{-3} \quad (12)$$

Where $N = 6.02 \times 10^{23}$ is Avogadro's number, comparison of eq.(10) and eq.(11) gives:

$$\Rightarrow \epsilon = \frac{23036}{N} = 3.81 \times 10^{19} \text{ } \epsilon (\text{cm}^2) \quad (13)$$

Absorption spectra are plotted in terms of $(\log \frac{E}{E_0})$ against wavenumber $\bar{\nu}$ (in cm^{-1}),

The wavelength λ , which is measured in nm ($1\text{\AA} = 10^{-8}\text{ cm}, 1\text{ nm} = 10^9\text{ m} = 10\text{\AA}$), is the reciprocal of the wavenumber $\bar{\nu}$, measured in cm^{-1} or K ($K = \text{kaiser}$),

$(\bar{\nu} = 1K, K = 1000\text{ cm}^{-1}$ is equivalent to $\lambda = 10^5\text{ \AA} = 10\text{ nm}$).

Wavenumber $\bar{\nu}$ is also expressed in terms of its equivalent photon energy $E = h\nu$,

$$E = h\nu = \frac{hc}{\lambda} = hc\bar{\nu},$$

Where $h = 6.63 \times 10^{-34}$ erg/sec, is Planck's constant, $c = 3 \times 10^8$ m/sec, velocity of light,

4. The Born-Oppenheimer Approximation:

Just as the total energy (E_0, E') of the ground and excited vibronic states has been described as the sum of electronic (E_e, E'_e) and vibrational (E_v, E'_v) energies, the wavefunction ψ of a vibronic state can be expressed as the product of electronic (Ω) and vibrational (ϕ) wavefunctions. This is Born-Oppenheimer approximation. Thus write:

$$\psi = \Omega \phi \quad (4)$$

as the wavefunction of the (mth) vibrational state of a lower electronic state n , and,

$$\psi_m = \Omega_m \phi_m \quad (5)$$

as the wavefunction of the (nth) vibration state of a higher electronic state M .

These wavefunctions form the basis for the quantum mechanical theory of radiative and radiationless processes in molecules. For simplicity it is assumed that each vibrational state is single.

يمكن تبسيط نظرية الأوربيال الجزيئي باستعمال الطريقة التقريبية التي افترضها لأول مرة كل من بورن وأينهaimer والتي تعتمد على افتراض أن النويات تتحرك أبطأ كثيراً من الالكترونات، وبذلك يمكننا دراسة حركة الالكترونات نسبة لموقع النويات كل على

افتراض يجعلنا قادرين على تجزئة الدالة الموجية الواحدة إلى حاصل ضرب الدالة الموجية الكترونية ودالة موجية نووية. وتعتمد الدالة الموجية الالكترونية على موضع الالكترونات وليس على حالتها الحركية. أما الدالة الموجية النووية فإنها تعتمد على الترتيب الكل.

وكمثال على هذا التقرير، فإنه يمكن صياغة مؤثر هامiltonون بصورة عامة لجزئية تتألف من عدد N من الذرات وعدد n من الالكترونات كالتالي:

$$\hat{H} = -\frac{\hbar^2}{2} \sum_A^N \frac{1}{M_A} \nabla_A^2 - \frac{\hbar^2}{2m} \sum_i^n \nabla_i^2 - \sum_A \sum_i^n \frac{Z_A e^2}{r_{Ai}} + \sum_A \sum_B \frac{Z_A Z_B e^2}{R_{AB}} + \sum_i \sum_j \frac{e^2}{r_{ij}} \quad (6)$$

كتابة المعادلة بالشكل التالي:

$$\hat{H} = \hat{T}_N + \hat{T}_e + \hat{V}_{eN} + \hat{V}_{NN} + \hat{V}_{ee} \quad (7)$$

حيث أن \hat{T}_N و \hat{T}_e تمثل مؤثرات الطاقة الحركية للنويات والالكترونات على أن m هي كتلة وشحنة الالكترون على التوالي، وأن ∇_A^2 , $Z_A e$, M_A تمثل الطاقة الكامنة لنوءة الذرة A .

مؤثر الطاقة الكامنة لتجاذب الالكترونات والنويات وأن r_{Ai} تمثل عن نواة الذرة A ، كما أن V_{NN} تمثل مؤثر الطاقة الكامنة لتنافر أزواج من

النويات، وأن R_{AB} تمثل المسافة بين النواتين A و B ، أما الحد الأخير V_{ee} فيمثل مؤثر الطاقة الكامنة لتنافر أزواج من الالكترونات وأن r_e تمثل المسافة بين الالكترونين أو ج.

إن المؤثر المهملي في المعادلة (6) يتحقق معادلة شرودنكر الغير معتمدة على الزمن كالتالي :

$$H\psi(r, R) = E\psi(r, R) \quad (8)$$

حيث أن E هي الطاقة الكلية للنظام، أما $\psi(r, R)$ فهي دالة لأحداثيات r الالكترونية وأحداثيات R النووية.

والآن لو فرضنا أن موقع النويات ثابتة نسبة لحركة الالكترونات فإن مؤثر هاملتون للطاقة الحركية للنويات T_N والطاقة الكامنة لتنافر النويات V_{NN} يساوي :

$$T_N = 0 \quad V_{NN} = \text{Constant} \quad (9)$$

وبذلك يكون مؤثر هاملتون للحركة الالكترونية فقط كالتالي :

$$\hat{H}_e = T_e + V_{eN} + V_{ee} \quad (10)$$

ويستخدم ترسيب بورن - اوينهايمر يمكننا فصل الحركة الالكترونية عن حركة النويات وكتابة الدالة $\psi(r, R)$ على الشكل التالي :

$$\psi(r, R) = \psi_N(R) \cdot \psi_e(r, R) \quad (11)$$

وتعرف $\psi(r, R)$ بالدالة الموجية الالكترونية Electronic Wave function للجزئية وتعتمد على حالات الكم للالكترونات وتتغير أيضاً مع الموقع النووي الثابت R . وهذه الدالة تحقق معادلة شرودنكر التالية :

$$H_e\psi_e(r, R) = E_e(R)\psi_e(r, R) \quad (12)$$

H_e هو المؤثر المهملي الالكتروني وساوي مؤثر هاملتون في المعادلة (6) بعد الطاقة الحركية النووية. و $E_e(R)$ تمثل الطاقة الالكترونية للجزئية (الكترون) على موقع النويات المختار.

والآن يمكن فصل معادلة شرودنcker (8) ، وبعد أن يكتب مؤثر هاملتون على المنشك التالي :

$$\hat{H} = \hat{H}_N + \hat{H}_e$$

\hat{H}_N إلى الطاقة الحركية والكافنة للنويات ، أي أن :

$$\hat{H}_N = \hat{T}_N + \hat{V}_{NN}$$

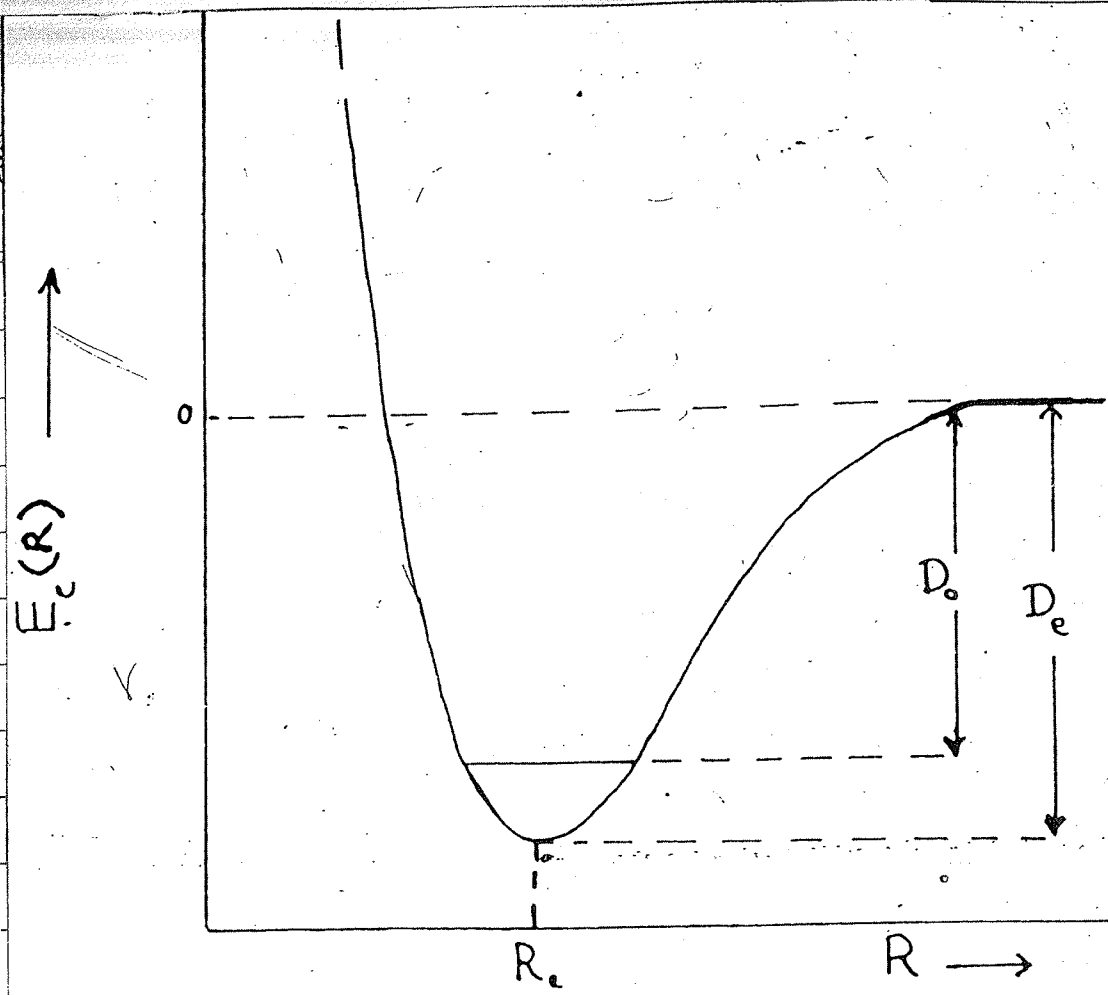
وعند تعويض المعادلات (11 - 5) و (13 - 5) في معادلة شرودنcker (8 - 5) نحصل على :

$$(\hat{H}_N + \hat{H}_e)\psi_N(R) \cdot \psi_e(r, R) = E\psi_N(R) \cdot \psi_e(r, R) \quad (15)$$

وبالتعويض عن قيمة \hat{H}_e من المعادلة (12 - 5) نحصل على :

$$[\hat{H}_N + E_e(R)]\psi_N(R) = E\psi_N(R) \quad (16)$$

في المعادلات (11) و (12) و (16) هي المعادلات الناتجة عن تفريغ أورينهايم. وعند حل هذه المعادلات الثلاثة يمكن الحصول على الطاقة الالكترونية E والطاقة الكمية للجزيئة إضافة إلى الدوال الالكترونية (R, r) والنوية (r, R) والكلية (r, R) للجزيئة. وعلى هذا الأساس ، تتوقع أن يكون تفريغ صحيحاً بالنسبة للدالة الموجية الالكترونية التي لا تتغير كثيراً بالاحداثيات . وجده من الدراسات الطيفية أن هذا التفريغ جيد للحالات المستقرة ويعطي نتائج غير مرضية للحالات المتباينة فضلاً عن كونه يتبدل في حالة degeneracy الدالات الموجية الالكترونية . ومن الجدير باللاحظة أن هذا التفريغ يساعدنا على رسم منحنيات طاقة الجهد الالكتروني بدلاً من مواقع نووية ثابتة



مخطط لنحن الطاقة الالكترونية لجزيء ثانية الذرة مع المسافة بين النواتين R . أما R_e و D_0 فانهما تمثل مسافة الاستقرار وطاقة الرابط الالكترونية. D_e تمثل طاقة التفكك المجزئية التجريبية.

5. The Einstein coefficients

Consider a large number of molecules, immersed in a transparent medium of refractive index n , in thermal equilibrium within a cavity at temperature T . The *radiation density* (erg cm⁻³ per unit frequency range) of frequency ν within the medium is given by Planck's black-body radiation law

$$\rho(\nu) = \frac{8\pi h\nu^3 n^3/c^3}{\{\exp(h\nu/kT) - 1\}}$$

The rate of molecules going from state l_m to state u_n by absorption of radiation is

$$\Delta N_{l_m \rightarrow u_n} = N_{l_m} B_{l_m \rightarrow u_n} \rho(\nu_{l_m \rightarrow u_n}) \quad (17)$$

where N_{l_m} is the number of molecules in state l_m , $\nu_{l_m \rightarrow u_n}$ is the frequency of the transition, and $B_{l_m \rightarrow u_n}$ is the transition probability coefficient, known as the *Einstein B coefficient*.

Molecules in state u_n can go to state l_m by spontaneous emission with transition probability $A_{u_n \rightarrow l_m}$ (the *Einstein A coefficient*), or by induced emission with probability $B_{u_n \rightarrow l_m} \rho(\nu_{u_n \rightarrow l_m})$. The rate at which molecules undergo this downward transition is given by

$$\Delta N_{u_n \rightarrow l_m} = N_{u_n} \{A_{u_n \rightarrow l_m} + B_{u_n \rightarrow l_m} \rho(\nu_{u_n \rightarrow l_m})\} \quad (18)$$

where

$$B_{u_n \rightarrow l_m} = B_{l_m \rightarrow u_n} \quad (19)$$

$$\nu_{u_n \rightarrow l_m} = \nu_{l_m \rightarrow u_n} \quad (20)$$

and N_{u_n} is the number of molecules in state u_n . At equilibrium the rates of the absorption and emission transitions are equal, so that by equating (17) and (18),

$$\frac{A_{u_n \rightarrow l_m}}{B_{u_n \rightarrow l_m}} = \left(\frac{N_{l_m}}{N_{u_n}} - 1 \right) \rho(\nu_{u_n \rightarrow l_m}) \quad (21)$$

The number of molecules in the two states at equilibrium are related to the Boltzmann distribution law

$$\frac{N_{u_n}}{N_{l_m}} = \exp[-h\nu_{u_n \rightarrow l_m}/kT] \quad (22)$$

Substitution of (16) and (22) in (21) gives the *Einstein relation* between the *A* and *B* coefficients for molecules in a medium of refractive index n ,

$$\left\{ A_{u_n \rightarrow l_m} = 8\pi h \nu_{u_n \rightarrow l_m}^3 n^3 c^{-3} B_{u_n \rightarrow l_m} \right\} \quad (23)$$

The Einstein *A* coefficient determines the probability of spontaneous emission, i.e. luminescence, and its relation to the fluorescence spectrum

and lifetime will be discussed. The Einstein B coefficient determines the probability of absorption, and it is simply related to the molecular absorption cross-section σ . By the definition of σ (10), the change in radiation density $d\rho(\nu)$ of a beam of radiation density $\rho(\nu)$ in passing through a thin layer dx of a specimen containing n' absorbing molecules per cm^3 is

$$d\rho(\nu) = -\sigma n' \rho(\nu) dx$$

$$= -\sigma N_{10} \rho(\nu) \quad (24)$$

where N_{10} is the number of absorbing molecules per cm^2 in the ground state $l0$. The number of molecules per cm^2 excited per second with energy $h\nu$ is

$$\Delta N(\nu) = -c d\rho(\nu)/h\nu n \quad (25)$$

so that combining (24) and (25)

$$\Delta N(\nu) = \frac{N_{10} c \sigma \rho(\nu)}{h\nu n} \quad (26)$$

Integrating over the ($l0 \rightarrow un$) vibronic band, we obtain the absorption probability for this transition as

$$\Delta N_{10 \rightarrow un} = N_{10} \left[\frac{c}{hn} \int \frac{\sigma(\nu) d\nu}{\nu} \right] \rho(\nu_{10 \rightarrow un}) \quad (27)$$

Comparison with (17) gives

$$B_{10 \rightarrow un} = \frac{c}{hn} \int \frac{\sigma(\nu) d\nu}{\nu} \quad (28)$$

$$= \frac{2303c}{hnN} \int \frac{\epsilon(\nu) d\nu}{\nu} \quad (29)$$

from (13).

If we assume that all the molecules originate in the $l0$ state, summation of (29) over all the vibrational levels of the upper electronic state gives the probability of all transitions to the u state:

$$B_{1u} = \sum_n B_{10 \rightarrow un} \quad (30)$$

$$= \frac{c}{hn} \int \frac{\sigma(\nu) d\nu}{\nu} \quad (31)$$

$$= \frac{2303c}{hnN} \int \frac{\epsilon(\nu) d\nu}{\nu} \quad (32)$$

where the integrals are now over the whole $l \rightarrow u$ electronic absorption band system.

6 Transition moments

Using the Born-Oppenheimer approximation, we may write

$$\psi_{10}(x, Q) = \theta_1(x, Q) \Phi_{10}(Q) \quad (33)$$

$$\psi_{un}(x, Q) = \theta_u(x, Q) \Phi_{un}(Q) \quad (34)$$

for the wavefunctions of the $l0$ and un vibronic states, respectively, where x and Q are the electronic and nuclear coordinates, respectively.

The *electric dipole transition moment* between any two states, wavefunctions ψ_1, ψ_u , is defined by the integral

$$M_{1u} = e \left\langle \psi_1 \left| \sum_i z_i \mathbf{r}_i \right| \psi_u \right\rangle \quad (35)$$

where \mathbf{r}_i is the position vector of the i th particle (electron or nucleus) of charge $z_i e$ in the molecule. For the $l0 \rightarrow un$ vibronic absorption transition, we obtain

$$M_{10 \rightarrow un} = e \int \int \psi_{10}^*(x, Q) \left\{ \sum_i z_i - \sum_\mu z_\mu \mathbf{r}_\mu \right\} \psi_{un}(x, Q) dx dQ \quad (36)$$

where suffixes i and μ refer to the electrons and nuclei, respectively. Substituting from (33) and (34), and separating the electronic and nuclear coordinates,

$$\begin{aligned} M_{10 \rightarrow un} &= e \int \Phi_{10}^*(Q) \left\{ \int \theta_1^*(x, Q) \left\{ \sum_i \mathbf{r}_i \right\} \theta_u(x, Q) dx \right\} \Phi_{un}(Q) dQ \\ &\quad - e \int \Phi_{10}^*(Q) \left\{ \sum_\mu z_\mu \mathbf{r}_\mu \right\} \left\{ \int \theta_1^*(x, Q) \theta_u(x, Q) dx \right\} \Phi_{un}(Q) dQ \end{aligned} \quad (37)$$

The second term in (37) vanishes, because θ_1 and θ_u are orthogonal for the same value of Q , being different eigenfunctions of the same Hamiltonian.

If we define

$$M_{1u}(Q) = e \int \theta_1^*(x, Q) \left\{ \sum_i \mathbf{r}_i \right\} \theta_u(x, Q) dx \quad (38)$$

as the *electronic transition moment*, then the $l0 \rightarrow un$ vibronic transition moment is, from (37),

$$M_{10 \rightarrow un} = \int \Phi_{10}^*(Q) M_{1u}(Q) \Phi_{un}(Q) dQ \quad (39)$$

If the Born-Oppenheimer approximation is valid, $M_{1u}(Q)$ is not a rapidly varying function of Q , and it may be approximated by a mean value \bar{M}_{1u} , which is independent of Q . Hence (39) simplifies to

$$M_{10 \rightarrow un} = \bar{M}_{1u} S_{10, un} \quad (40)$$

where $S_{10,un}$ is the *vibrational overlap integral*,

$$S_{10,un} = \int \Phi_{10}^*(Q) \Phi_{un}(Q) dQ \\ = \langle \Phi_{10} | \Phi_{un} \rangle$$

Equation (40) is the quantum-mechanical statement of the Condon principle.

The transition moment is related to the Einstein B coefficient for the vibronic transition by the expression

$$B_{10 \rightarrow un} = \frac{8\pi^3 G}{3h^2} |\bar{M}_{10 \rightarrow un}|^2 \quad (42)$$

$$= K |\bar{M}_{10 \rightarrow un}|^2 \quad (43)$$

where

$$K = \frac{8\pi^3 G}{3h^2} \quad (44)$$

and G is a multiplicity weighting factor which equals unity for $S_0 \leftarrow S_1$ transitions.

The Einstein B coefficient for the complete electronic transition is, from (30), (40) and (43),

$$B_{1u} = K |\bar{M}_{1u}|^2 \sum_n \left| \int \Phi_{10}^*(Q) \Phi_{un}(Q) dQ \right|^2 \quad (45)$$

The sum in (45) is equal to unity, since the wavefunctions $\Phi_{un}(Q)$ form a complete orthonormal set, so that

$$B_{1u} = K |\bar{M}_{1u}|^2$$

where \bar{M}_{1u} is the *mean electronic transition moment*.

7. Oscillator strengths

The *oscillator strength* or *intensity* of an electronic or vibronic absorption transition is defined as

$$\begin{aligned}
 f &= \frac{mc}{\pi e^2 n} \int \sigma d\nu \\
 &= \frac{2303mc^2}{\pi e^2 Nn} \int \epsilon d\bar{\nu} \\
 &= \frac{4.39 \times 10^{-9}}{n} \int \epsilon d\bar{\nu}
 \end{aligned} \tag{49}$$

where $\bar{\nu}$ is in cm^{-1} , and the integrals are over the appropriate electronic or vibronic absorption band. The refractive index n is commonly omitted

from the above expressions.² Its inclusion ensures that the relation between f and the transition moment is independent of n .

For the $l \rightarrow u$ electronic transition, from (31) and (46), the oscillator strength or intensity is

$$\begin{aligned}
 f_{lu} &= \frac{m h \nu_{lu}}{\pi e^2} B_{lu} \\
 &= \frac{8 \pi^2 m c \bar{\nu}_{lu} G}{3 h e^2} |\bar{M}_{lu}|^2 \\
 &= 4.70 \times 10^{29} \bar{\nu}_{lu} G |\bar{M}_{lu}|^2
 \end{aligned} \tag{49}$$

where ν_{lu} and $\bar{\nu}_{lu}$ are the mean frequency and mean wavenumber, respectively, of the transition, and \bar{M}_{lu} is in e.s.u.

For the $l0 \rightarrow un$ vibronic absorption transition, the intensity is

$$f_{l0 \rightarrow un} = \frac{f_{lu} \bar{\nu}_{l0 \rightarrow un}}{\bar{\nu}_{lu}} |S_{l0, un}|^2 \tag{49}$$

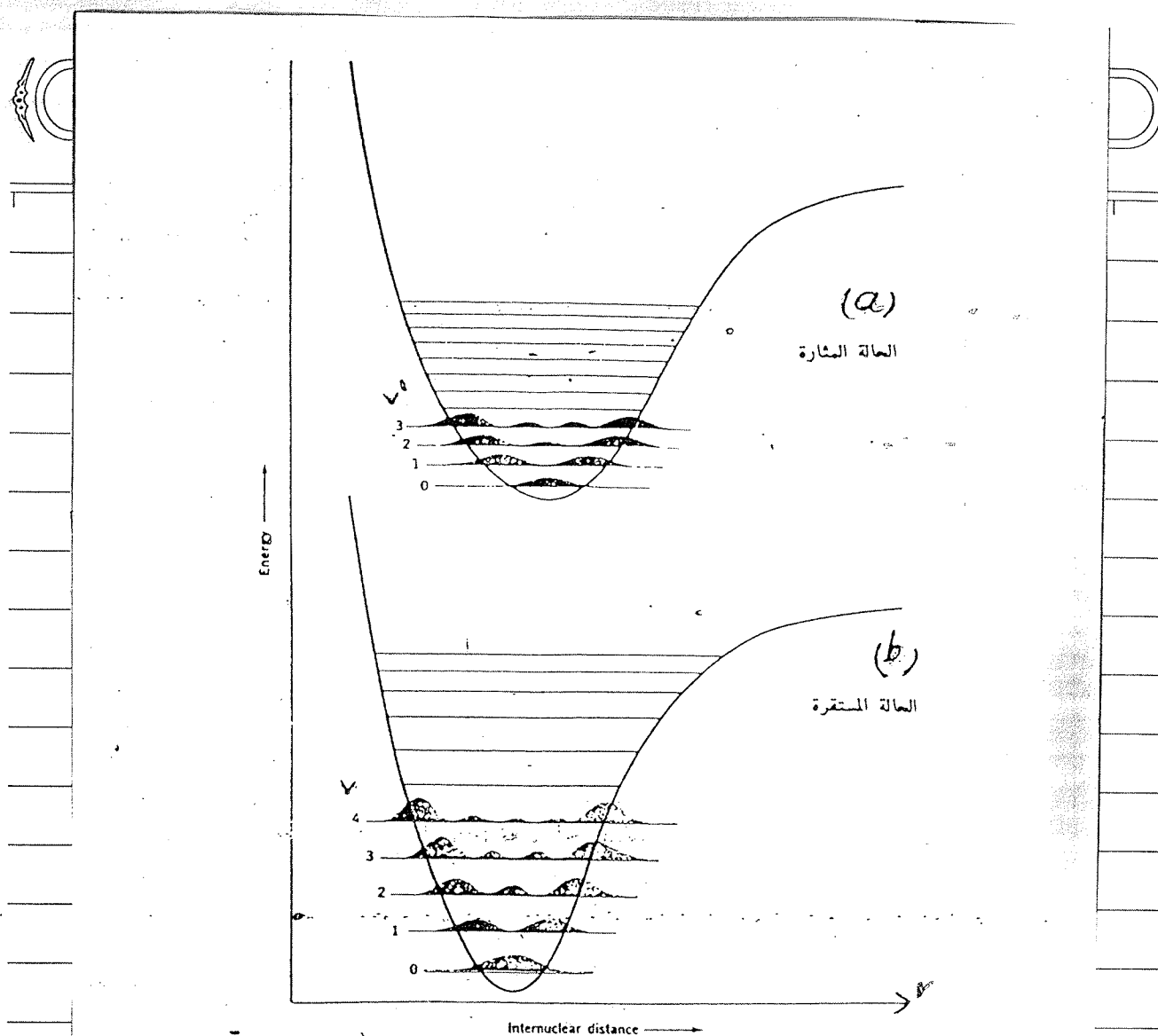
where $S_{l0, un}$ is the vibrational overlap integral (41).

3.8 The Franck-Condon principle

The potential energy diagram of a diatomic molecule plots the total (electronic and vibrational) energy of the molecule as a function of the nuclear separation r , and the wavefunctions Φ of the vibrational modes approximate to those of a harmonic oscillator (Figure 2). A similar diagram of E_i and E_e against a nuclear configuration coordinate Q can be used for the qualitative discussion of more complex molecules such as the aromatic hydrocarbons, although Q no longer corresponds simply to

The Franck-Condon principle states that, because the time required for an electronic transition is negligible compared with that of nuclear motion, the most probable vibronic transition is one which involves no change in the nuclear coordinates. This transition, which is referred to as the *Franck-Condon maximum*, represents a vertical transition on the potential energy diagram (Figure 3.2). In quantum-mechanical terms, the Franck-Condon maximum corresponds to maximum overlap between the ground-state vibrational wavefunction Φ_{10} and the excited-state vibrational wavefunction Φ_{un} , i.e. when $S_{10, un}$ is a maximum (§ 53).

الطاقة الالكترونية تمثل عادة بمنحنى طاقة يعين موقع وطاقة هذه الحالة. الشكل يمثل منحنى الطاقة لحالتين مختلفتين في جزيئه ثنائية الذرة. حيث أن الطاقة هي دالة للمسافة (r) بين النواتين. بالإضافة إلى أن منحنيات الطاقة تحدث في مختلفة وسائل مختلفة وذلك حسب الانتقالات الالكترونية المختلفة في الجزيئ. يبين الشكل (2) نموذج للحالة المستقرة (V) والحالة المترقبة (V')، وأن ذلك اهتزازاً في كل حالة الكترونية. والخطوط الأفقية تمثل الطاقات المسموحة للطارات الاهتزازية.



منحنى الطاقة والمستويات الاهتزازية إضافة إلى احتفالية إنتشار التوقيتات على أساس الميكانيك الكمي لكل الحالات الالكترونية المستقرة والمتغيرة.

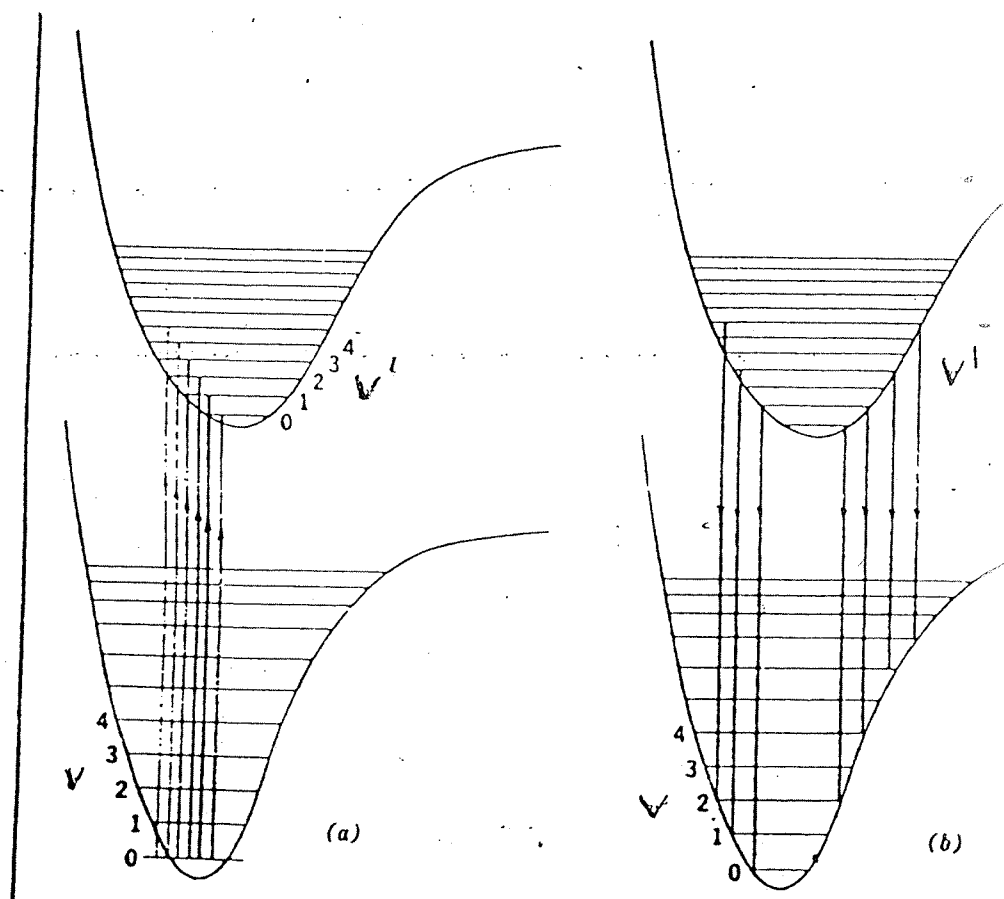
ضوء ما تقدم ، فإنه يمكن أن نرسم الشكل (6-3) والذي يمثل الانتقالات بين الطاقة الموجودة في الشكل (2). في تجرب الامتصاص ، تكون درجة الحرارة درجة حرارة الغرفة . وفي هذه الحالة تكون الجزيئة في حالة الاستقرار أي $V=0$. فإنه من المتوقع رؤية خطوط طيف الامتصاص في حزمة الامتصاص الالكترونية للانتقالات من $V=0$ إلى $V'=0, 1, 2 \dots$

في أطیاف الانبعاث الجزيئي شكل (3b) فإن درجة الحرارة تكون عادة عالية بحيث أن الجزيئة لا تكون في الحالة $V=0$ بل في قيم أخرى من V .. لذلك فإن طيف الانبعاث يحتوي على عدد من الخطوط الطيفية الناشئة عن إنتقالات من مختلف المستويات الاهتزازية.

في الاعتراض الامتازية بالنسبة للأطياف الالكترونية فقد لوحظ بأنه لا يوجد على التغيرات ΔV في الانتقال من حالة إلى أخرى، أي أنه لا توجد قواعد إختيار Frank-Condon ويسعاض عنها بما يعرف بقاعدة فرانك - كوندن (Frank-Condon Principle) والتي تنص على أنه خلال الانتقالات الالكترونية تبقى النويات ثابتة في حين تتعارض الالكترونات إنتقالات الكترونية، وهذا يرجع بطبيعة الانتقالات الالكترونية نسبة لحركة النويات كنتيجة لفارق الكتلة بينها.

ثبات المسافة بين النويات ثابتة خلال الانتقال.

إن الانتقالات الالكترونية بين الحالات المستقرة والمتغيرة تمثل عادة بخطوط عمودية بين منحنيات الطاقة.

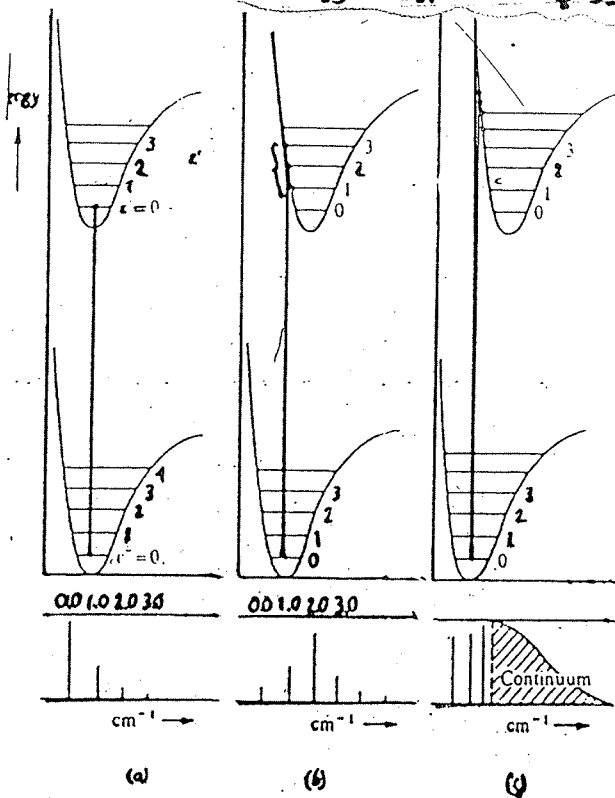


الشكل (3). قاعدة فرانك - كوندن للانتقالات الالكترونية.

(a) الانتقالات الالكترونية الأكثر انتهاً.

(b) اعتماد الانتقالات الأكثر انتهاً على المسافات الامتازية لحالتين الكترونيتين.

لقد رأينا في الفقرة السابقة بأنه لا توجد قيود على التغيرات في عدد الكم الاهتزازي خلال الانتقالات الالكترونية. إضافة إلى أن الخطوط الاهتزازية لا تظهر بنفس الشدة. ففي بعض الأطيف يظهر الانتقال ($V=0 \rightarrow V' \neq 0$) أعلى شدة من الانتقالات الأخرى كما موضح في الشكل (4a). وفي بعض الأطيف الأخرى فإن الشدة تزداد حتى تصل القيمة في بعض قيم V' شكل (4b). بينما في أطيف أخرى، فإن بعض خطوط الاهتزاز تكون واضحة ثم يتبعها طيف مستمر بدون تركيب اهتزازي شكل (4c). هذه الأنواع المختلفة من الأطيف يمكن تفسيرها حسب قاعدة فرانك - كوندن والتي تنص على أن الانتقال الالكتروني يحدث في وقت أسرع من الوقت اللازم للانتقال الاهتزازي، وحدث تغير في المسافة بين النوى.



الشكل (4-) تطبيق قاعدة فرانك - كوندن. (a) مسافة الاتزان متساوية في الحالة المستقرة والحالة المتبعة. (b) المسافة في الحالة المتبعة أكبر بقليل من المسافة في الحالة المستقرة. (c) المسافة بين النوى في الحالة المتبعة أكبر بكثير من المسافة في الحالة المستقرة.

إن النظرية الكلاسيكية تفترض أن طاقة الجزيئه تتغير مع المسافة بين النواتين. وأن مرس يمثل الطاقة عند ثبوت أحد الذرات في النقطة $(r=0)$ والذرة الأخرى تتردد المنحني. أما نظرية الكم والتي تتفق مع النظرية الكلاسيكية عند القيم العالية لـ \hbar الكم الاهتزازي، فانها تفرق عن \hbar فإن الذرة المتحركة غالباً تتوارد في مركز كثتها أي في نقطة التوازن بين النواتين حيث تدعى (point) . وفي المستويات $V = V_0$ فإن احتمالات تواجد الذرة يكون قريباً من نهايات المستويات. إن هذا التصرف في الشكل (2) حيث تم رسم إحتمالية التواجد للجزيئه في كل حالة إهتزازية قبل المسافة البينية للنواتين.

أما الشكل (4) فإنه يبين ثلاثة احتمالات. الاحتمال الموضح في الشكل (4a) بين أن الحالة الالكترونية العليا (الجزيئه المتيبة) لها نفس مسافة التوازن للحالة السفل (الجزيئه المستقرة). وفي هذه الحالة فإن قاعدة فرانك - كوندن تقترح بأن الانتقال يحدث عمودياً لكون ان مسافة التوازن لم تتغير في الحالتين. وأن أعلى خط طيفي ينشأ من الانتقال بين $V = 0$ و $V = V_0$. الشكل (4b) يمثل الاحتمالية التي تكون فيها الحالة الالكترونية أعلاه لها مسافة توازن أكبر بقليل من الحالة المستقرة. وأن أعلى خط طيفي ينشأ في الغالب من الانتقال العمودي بين المستوى $V = 0$ والحالة المتيبة $V = V_0$. والاحتمال لا يرى تبدو أقل احتمالاً. وشكل عام فإن الانتقال إلى الحالة العليا عادة يعتمد على الفرق في مسافة الازان (r) بين الحالة المستقرة والحالة المتيبة.

أما الشكل (4c) فيبين بأن الحالة العليا (المتيبة) لها مسافة بینية كبيرة إلى حد ما مقارنة مع الحالة المستقرة. لذلك نجد أن الانتقال يصل إلى مستوى إهتزازي عال (عدد \hbar إهتزازي عال). وإذا حصل الانتقال إلى حالة عليا ذات طاقة أكبر من طاقة تحمل الجزيئه، فإن الجزيئه سوف تتحلل إلى ذرات المكونة لها. وما أن الذرة الحرجة بامكانيها إخلاء أي طاقة حرکية، لذلك نجد أن الطيف يظهر على شكل مستمر بدون أي تراكيز كما موضح في اسفل الشكل (4c).

Flash photolysis and $S_1 - S_0$ absorption

The absorption of a photon by a molecule 1M within its $S_0 - S_1$ absorption band excites it into ${}^1M^*$, which has a lifetime $\tau_M \sim 1 - 10^3$ ns. ${}^1M^*$ is de-excited by a radiative or radiationless transition to 1M , or by inter-system crossing to ${}^3M^*$. ${}^3M^*$ has a lifetime $\tau_T \sim 10 - 10^4$ ms, and it is normally de-excited by a radiative or radiationless transition to 1M . If a solution of molar concentration $[{}^1M]_0$ is irradiated with light of intensity I_0 , the solute molecules will be in one of three electronic states, 1M , ${}^1M^*$ and ${}^3M^*$, where

$$[{}^1M]_0 = [{}^1M] + [{}^3M^*] + [{}^1M^*] \quad (54)$$

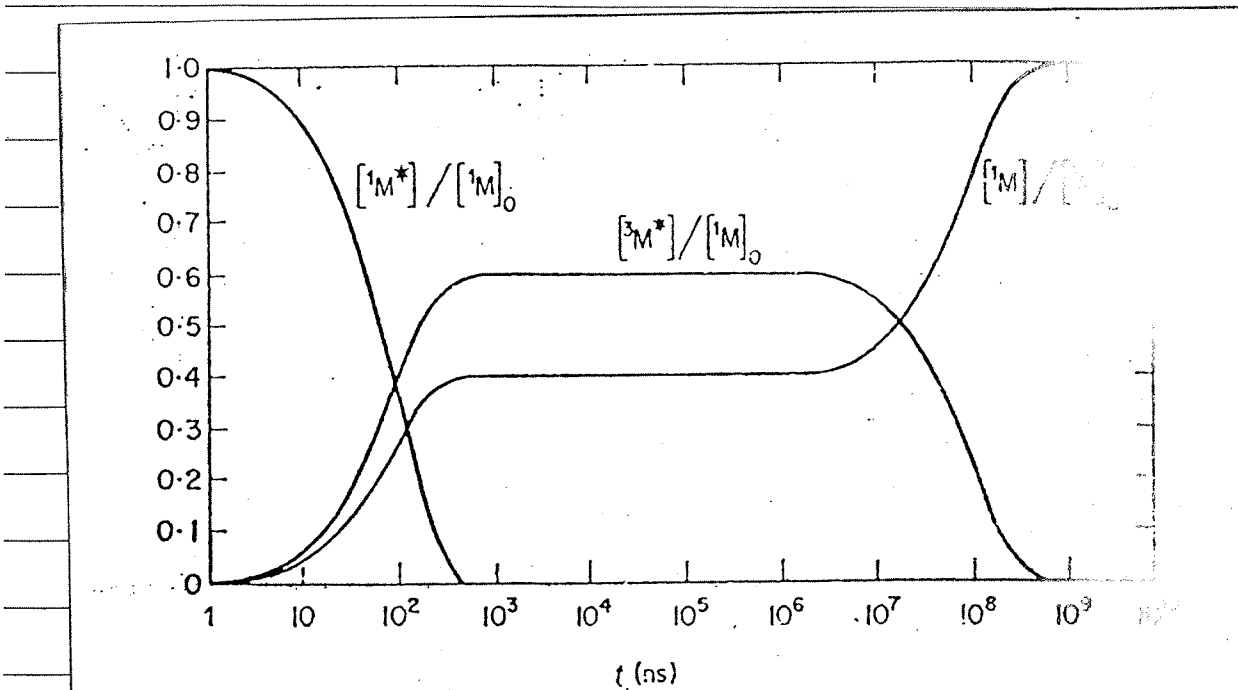
For steady excitation with light of very weak intensity, under photo-stationary conditions (§4.4)

$$[{}^1M]_0 \approx [{}^1M] \gg [{}^3M^*] \gg [{}^1M^*] \quad (55)$$

For $I_0 \approx 0$, the ground-state depletion, which is defined as

$$[{}^1M]_0 - [{}^1M] = [{}^3M^*] + [{}^1M^*] \quad (56)$$

is negligible, and any absorption by ${}^3M^*$ or ${}^1M^*$ can be neglected. Under these conditions, the Beer-Lambert law is valid, and the molar extinction coefficient ϵ is independent of I_0 and $[{}^1M]_0$.



Flash photolysis. Relative concentrations of singlet-excited molecules $[{}^1M^*]/[{}^1M]_0$, triplet-excited molecules $[{}^3M^*]/[{}^1M]_0$ and unexcited molecules $[{}^1M]/[{}^1M]_0$ as a function of time t after an intense light flash. $\tau_M = 100$ ns; $\tau_T = 100$ ms; $\Phi_{TM} = 0.6$

At high light intensities, where the absorbed photon flux is comparable with $[{}^1\text{M}]_0$, the mean molar extinction coefficient $\bar{\epsilon}$ of the solution is given by

$$\bar{\epsilon}[{}^1\text{M}]_0 = \epsilon[{}^1\text{M}] + \epsilon_{\text{TT}}[{}^3\text{M}^*] + \epsilon_{\text{SS}}[{}^1\text{M}^*]$$

where ϵ , ϵ_{TT} and ϵ_{SS} are the molar extinction coefficients of $S_0 - S_p$ and $S_1 - S_p$ transitions in ${}^1\text{M}$, ${}^3\text{M}^*$ and ${}^1\text{M}^*$, respectively. The low excitation intensities required to make $[{}^3\text{M}^*]$ and/or $[{}^1\text{M}^*]$ comparable with $[{}^1\text{M}]_0$ are difficult to achieve with continuous illumination, but can

can be obtained using a light flash of short duration of sufficient intensity to excite all or most of $[{}^1\text{M}]_0$ into ${}^1\text{M}^*$. Figure 1 shows diagrammatically the time dependence of $[{}^1\text{M}]/[{}^1\text{M}]_0$, $[{}^1\text{M}^*]/[{}^1\text{M}]_0$ and $[{}^3\text{M}^*]/[{}^1\text{M}]_0$ after flash excitation of sufficient intensity to produce complete ground-state depletion initially (at $t = 0$, $[{}^1\text{M}] = [{}^3\text{M}^*] = 0$, $[{}^1\text{M}^*]/[{}^1\text{M}]_0 = 1$), for a typical solution with ${}^1\text{M}^*$ lifetime $\tau_M = 100$ ns, ${}^3\text{M}^*$ lifetime $\tau_T = 100$ ns, and ${}^3\text{M}^*$ quantum yield $\Phi_{\text{TM}} = 0.6$. During the time interval $0 < t < \tau_M$, ${}^1\text{M}^*$ is the dominant species, and the solution exhibits transient $S_1 - S_p$ absorption. During the time interval $\tau_M < t < \tau_T$, $[{}^3\text{M}^*]$ is significant, and the solution exhibits transient $T_1 - T_q$ absorption and reduced $S_0 - S_p$ absorption. At $t > \tau_T$, the solution recovers its normal $S_0 - S_p$ absorption intensity.